

بررسی کانی‌سازی، زمین‌شیمی و میانبارهای سیال در رگه‌های کوارتز در ذخیره طلای مزرعه شادی (شمال شرق تبریز)

کیخسرو رادمرد^۱، حسن زمانیان^{*}، محمد رضا حسین‌زاده^۲، احمد احمدی خلجی^۱

۱- گروه زمین‌شناسی، دانشکده علوم، دانشگاه لرستان

۲- گروه زمین‌شناسی، دانشکده علوم طبیعی، دانشگاه تبریز

(دریافت مقاله: ۹۵/۱۱/۱۲، نسخه نهایی: ۹۶/۱/۳۰)

چکیده: منطقه مزرعه شادی در ۱۳۰ کیلومتری شمال شرق تبریز و در پهنه فلزیابی ارسپاران قرار دارد. این ذخیره به صورت رگه‌ای در آندزیت‌های ائوسن قرار گرفته است و سیمای کانی‌سازی در منطقه شامل رگه‌ها و رگچه‌های سیلیسی است که توسط گسل‌ها کنترل شده است. بافت‌های فراگرمایی در رگه‌ها شامل بافت‌های شانه‌ای، کوارتز حفره‌ای، کوکاد، جعبه‌ای و کلسیت تیغه‌ای و برشی است. پیریت مهمترین کانی فلزی بوده و با کالکوپیریت، کالکوسیت، اسفالریت، گالن و طلا همراه است. نتایج نمونه‌برداری زمین‌شیمیایی در رگه‌های سیلیسی نشان‌دهنده بیشینه مقادیر طلا، سرب، نقره، مس و روی به ترتیب برابر با ۱۷۱۰۰ میلی‌گرم در تن، ۹۴۳، ۲۱۱۰۰، ۹۴۳ و ۳۳۳ گرم در تن هستند. بررسی‌های ریزدماسنجی بر نمونه‌های کوارتز پهنه سیلیسی و کانه‌دار صورت گرفته است و اطلاعات ریزدماسنجی لازم برای تفسیرهای جدید را به دست می‌دهد. اندازه میانبارها در نمونه‌ها از کمتر از ۵ تا ۹۰ میکرومتر بوده و سه نوع سیال درگیر دو فازی غنی از مایع، دو فازی غنی از بخار شناسایی شده است. دماهای همگن‌شدگی ۱۶۰ تا ۳۲۴ با میانگین ۲۲۸ درجه سانتی‌گراد و شوری ۰/۱۷ تا ۵/۱ درصد وزنی معادل NaCl است و دمای ذوب یخ بین ۲۲ تا ۳۲- تغییر می‌کند. میانبارهای سیال در محدوده فراگرمایی و بین سیالات ماقمایی و جوی قرار می‌گیرند. تنشیست طلا با عوامل رسوب پیریت، اکسایش، کاهش pH، جوشش و آمیختگی سیال‌ها صورت گرفته و دو جمعیت متفاوت میانبارهای سیال در محدوده موجود است. مشخصه‌های سیالات درگیر نشان‌دهنده عمق کانی‌سازی بین ۲۳۰ تا ۳۸۰ متر زیرسطح ایستابی دیرینه است و روند نمودارهای سه بعدی شوری- دمای همگن‌شدگی و مقدار طلا و سرب- روی در میانبارها نشان‌دهنده نهشت سرب- روی از سیالات با شوری پایین‌تر و دمای بیشتر به سمت نهشت طلا از سیالات با شوری بیشتر و دمای کمتر است. پهنه‌بندی به دلیل جوشش در سیستم فراگرمایی باعث تشکیل فلزات پایه مانند مس، سرب، روی و مولیبدن در عمق‌های پایین‌تر و فلزات گرانبهای در عمق‌های کمتر در مزرعه‌شادی شده است.

واژه‌های کلیدی: میانبار، جوشش، فراگرمایی، مزرعه شادی، ارسپاران.

[۲]. با توجه به وجود فعالیت‌های ماقمایی پتانسیل کانی‌سازی مطلوبی برای انواع مس- مولیبدن و طلا در منطقه هیزه‌جان تا مزرعه‌شادی موجود است. کانی‌سازی مزرعه شادی در استان آذربایجان شرقی و در ۳۰ کیلومتری شمال غرب شهرستان ورزقان و ۱۳۰ کیلومتری شمال شرق تبریز و در پهنه فلزیابی

مقدمه

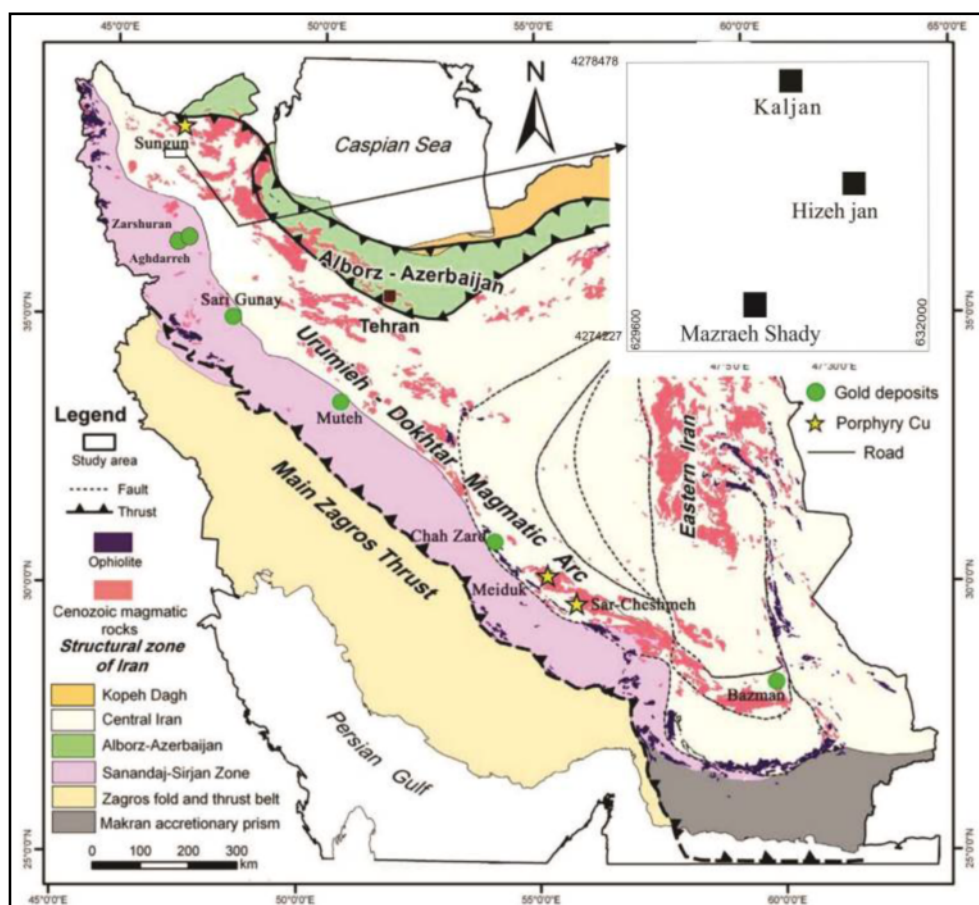
سنگ‌های آتشفشاری- نفوذی با ترکیب غالب متوسط تا فلسی و گرایش کلسیمی- قلیایی گسترش زیادی در پهنه زمین- ساختی البرز- آذربایجان دارند [۱]. این نوع سنگ‌ها میزبان اصلی ذخایر فلزهای پایه و گرانبهای در بسیاری از نقاط هستند

همراه، تعداد ۵۰ مقطع صیقلی و ۵۵ مقطع نازک صیقلی از رگه‌های کوارتز و نمونه‌های سطحی و گمانه‌های اکتشافی که در آنها کانه‌زایی سولفیدی صورت گرفته است، تهیه شد و با میکروسکوپ قطبشی با نور عبوری و بازتابی مورد بررسی شدند. در مجموع ۱۰۰ نمونه در آزمایشگاه AMDEL کشور استرالیا به روش ICP، ۱۲۵ نمونه در آزمایشگاه ALS کشور کانادا و تعداد ۶۳ نمونه سطحی با روش XRD در آزمایشگاه شرکت بینالود تجزیه شدند. برخی از داده‌های استفاده شده در این پژوهش از گزارش بررسی‌های زمین‌شناسی و دگرسانی ناحیه کالجان که توسط شرکت زرناب اکتشاف در سال ۱۳۸۵ تهیه شده است، برداشت شده‌اند. به منظور بررسی ویژگی‌های فیزیکوشیمیایی سیال کانه‌دار و بررسی روند تغییرات شیمیایی و دمایی سیال کانه‌ساز طی تشکیل ذخیره معدنی مزرعه شادی، تعداد ۱۲ مقطع دوبرصیقل از رگه‌های سیلیسی سطحی و زیر-سطحی منطقه که بیشتر همراه با کانی‌های فلزی اکسیدی و

ارسباران در شمال غرب کمان ماقمایی البرز - آذربایجان قرار دارد (شکل ۱) که به دلیل گسترش فعالیت‌های ماقمایی ترشیری و همچنین دگرسانی‌های وسیع، این محدوده به عنوان یکی از ۱۰ پهنه طلدار برتر شناخته شده است. اهمیت این منطقه به دلیل وجود طلای فراگرمایی، مس و مولیبدن پورفیری و ذخایر جیوه، آرسنیک، آنتیموان و کائولن است. در این مقاله سعی شده است که با استفاده از بررسی‌های گرماسنجی میانبارهای سیال، دما، شوری، چگالی، خواص فیزیکوشیمیایی سیال تشکیل‌دهنده تیپ کانسار، پهنه‌بندی عناصر و عمق تشکیل فلزات پایه و طلا-نقره را مورد بررسی قرار داد تا به عنوان الگویی برای اکتشافات آتی مدنظر قرار گیرد.

روش پژوهش

بررسی‌های صحراوی شامل تهیه نقشه‌های زمین‌شناسی و دگرسانی گستره مورد بررسی همراه با نمونه‌برداری از سنگ‌ها و رگه‌ها هستند. به منظور شناسایی کانی‌های فلزی و باطله‌های



شکل ۱ جانمایی منطقه مزرعه‌شادی- هیزه جان و تعدادی مس پورفیری و فراگرمایی طلا روی کمان ماقمایی ارومیه-دختردر نقشه ۱:۲۵۰۰۰۰۰ سازمان زمین‌شناسی کشور (۱۳۸۵) اطلاعات دیگر [۹-۳].

آگلومرا و برش آتشفسانی (E^{ag}) شامل ردبیفی از توف آگلومرا و برش‌های آتشفسانی است و به علت تقدم سنی همه فازهای زمین‌ساختی بعد از ائوسن بر این واحد اثر کرده و باعث چین-خوردگی و گسلش شدید آن شده‌اند. این واحد سنگ بستر اصلی سایر واحدهای محدوده بوده و در جنوب غرب دایک‌های آندزیتی تا داسیتی با روندهای متفاوت این واحد سنگی را قطع نموده‌اند. بر اساس بررسی‌های سنگ‌نگاری، بخش‌های آگلومرا ای دارای بافت پورفیری با زمینه شیشه‌ای-ریزلوری هستند. واحد گدازه‌های آندزیت بازالتی (E^{ab}) در بخش‌های غربی و شمال شرق در داخل و زیر واحد آگلومرا ای گسترش دارد. واحد گدازه تراکی آندزیتی (E^{ta}) بیشترین وسعت را در منطقه مورد بررسی دارد و در بخش‌های جنوبی و شرقی با ریخت‌شناسی نرم گسترش دارد که در اطراف روستای کالجان به شدت دگرسان شده و دربردارنده رگه‌ها و رگچه‌های سیلیسی است. واحد گدازه‌های آندزیتی (E^{an}) در بخش‌های شمالی و جنوب شرقی کالجان روی واحدهای آذرآواری - آتشفسانی آگلومرا و گدازه‌های آندزیت - تراکی آندزیت ائوسن با خاصیت زیاد قرار گرفته است. گدازه‌های داسیت-آندزیت، توف و آگلومرا ای لیگوسن (O^{da}) با ترکیب داسیتی تا آندزیتی در بخش شمال‌غربی به طور دگرشیب بر روی واحدهای E^{an} و E^{ag} دیده می‌شود. این واحد از گدازه‌ها و مواد آذر آواری با ترکیب فلسی تا حد واسطه تشکیل شده است. گنبدهای گدازه-ای هورنبلند آندزیتی پلیوسن (PL^{ha}) به صورت مجموعه‌ای از سنگ‌های گنبدهای شکل آندزیت - تراکی آندزیت خاکستری گدازه‌های آتشفسانی ائوسن را قطع کرده است و به صورت چند توده کوچک در اطراف روستای شرف‌آباد دیده می‌شود و مجموعه کنگلومرا، لاهار و آگلومرا کواترنری به طور دگرشیب روی آن دیده می‌شود. گدازه‌های آندزیت و آندزیت بازالتی کواترنری (Q^{ab}) روی همه رخمنوهای سنگی موجود در منطقه قرار گرفته که به احتمال زیاد آخرین فعالیت آتشفسانی در منطقه بوده است. روی این واحد نیز یک افق آگلومرا ای (Q^{ag}) که مربوط به فعالیت انفجاری آتشفسانی کواترنری است قرار گرفته و شامل قطعات لایپلی و بمبهای آتشفسانی در زمینه خاکستر نرم است رخمنون این واحد در شرق روستای هیزه-جان روی توده نیمه عمیق کوارنز مونزودیوریت دیده می‌شود.

سولفیدی بودند، تهیه و بررسی‌های ریزدماسنجی میانبارهای سیال و سنگنگاری و کانه‌نگاری بر آنها انجام شد. اندازه‌گیری-ها با استفاده از صفحه گرم‌کننده و منجمد‌کننده Linkham THMSG600 Olympus در دانشگاه لرستان انجام گرفت. گستره دمایی دستگاه ۱۹۶-تا $+600^{\circ}\text{C}$ در دماهای $56/6^{\circ}\text{C}$ ، $0/0^{\circ}\text{C}$ و $374/1^{\circ}\text{C}$ درجه سیال مصنوعی [۱۰] در دماهای سانتی‌گراد است. گستره دمایی در این بررسی بین ۲۹-تا 325°C درجه سانتی‌گراد بوده و دقت اندازه‌گیری‌ها برابر با $\pm 0.1^{\circ}\text{C}$ درجه سانتی‌گراد در گستره دمایی -20°C تا 40°C درجه سانتی‌گراد، $\pm 2^{\circ}\text{C}$ درجه سانتی‌گراد در دماهای زیر -70°C درجه سانتی‌گراد و $\pm 1^{\circ}\text{C}$ درجه سانتی‌گراد در دماهای بالای 100°C درجه سانتی‌گراد است. به منظور جلوگیری از ترکیدن میانبارهای سیال طی گرمایش، ابتدا فرآیند سرمایش بر روی آن انجام شد. بررسی داده‌های ریزدماسنجی و برآورد کسر حجمی فازهای مختلف (به منظور تبدیل دماهای ذوب و همگن‌شدن) و همچنین برآورد چشمی کسر حجمی به ترکیبات حجمی و چگالی) توسط نرم‌افزارهای فلوبیدز^۱ [۱۱] و کلاتریتزر^۲ [۱۲] صورت گرفته و همچنین درجه شوری میانبارهای سیال آبگین با استفاده از آخرین دمای ذوب یخ و با توسط نرم‌افزار فلینکور^۳ [۱۳] محاسبه شده است. برای پردازش داده‌ها از نرم افزارهای SPSS و Excel، Surfer، Auto CAD استفاده شده است.

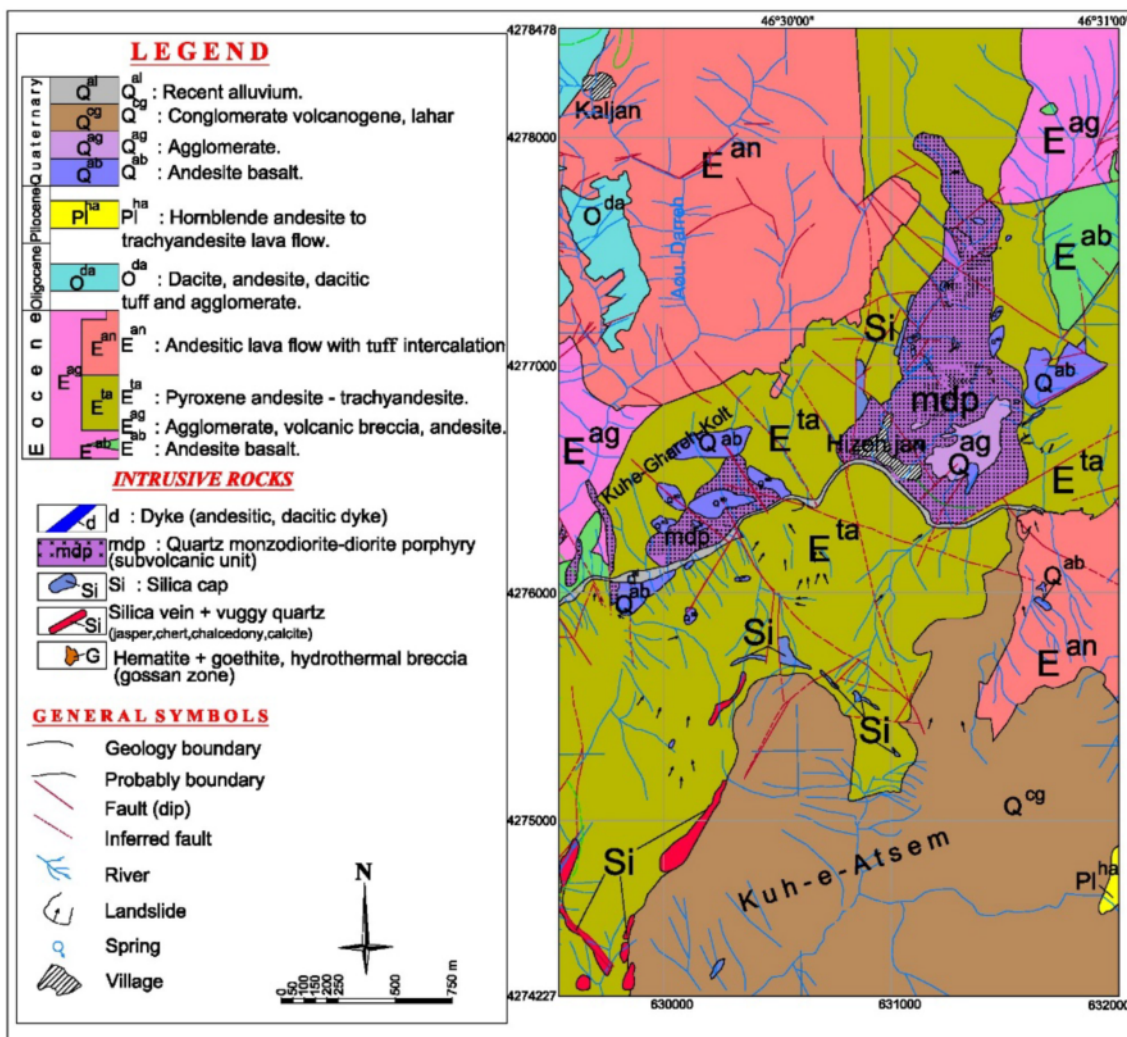
زمین‌شناسی منطقه

منطقه مزرعه‌شادی- هیزه‌جان بخشی از کمان آتشفسانی آهکی-قلیابی در شمال ایران است که به طول 1800 کیلومتر از شمال‌غرب ایران به سمت شرق تا افغانستان کشیده شده است. واحدهای سنگی رخمنون یافته در محدوده مورد بررسی مشتمل از سنگ‌های آذرین خروجی (جریان‌های گدازه‌ای، گنبدهای خروجی) سنگ‌های آذرین نیمه عمیق و واحدهای آذرآواری بوده و به طور کلی می‌توان آنها را به دو بخش سنگ-های آذرین خروجی و نفوذی- نیمه عمیق تفکیک کرد (شکل ۲). واحدهای سنگی آذرین خروجی با سن ائوسن پسین کواترنر وسعت قابل توجهی از نقشه را پوشانده‌اند [۱۴]. واحد

1- Fluids

2- Clathrates

3- Flincore



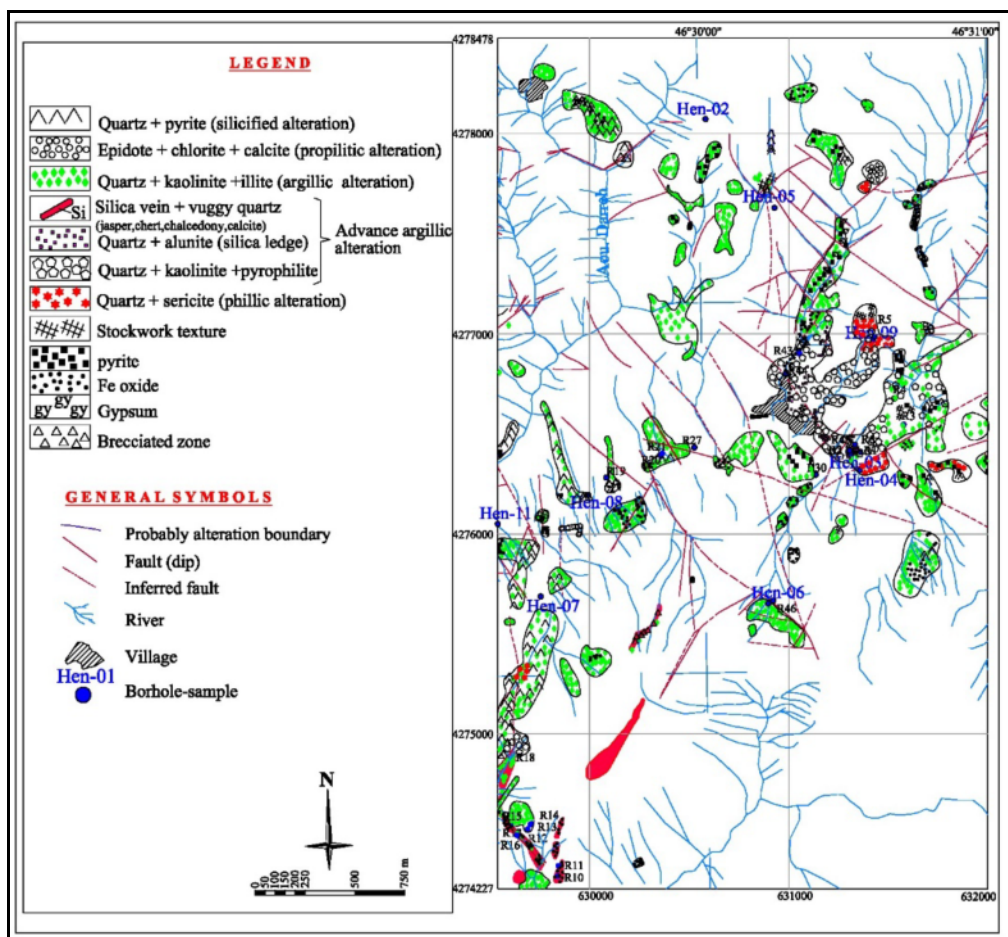
شکل ۲ نقشه زمین‌شناسی ساده شده منطقه مورد بررسی.

کوارتزمنزودیوریت پورفیری تا دیوریت پورفیری با بافت ریزدانه‌ای پورفیری و شامل کانی‌سازی مس است. این توده در شمال روستای هیزه‌جان به صورت استوک‌های سالم و قابل تشخیص دیده می‌شود ولی در قسمت‌های جنوبی و در شرق روستا به علت شدت دگرسانی قابل تشخیص نیست. نفوذ این توده در واحدهای سنگی E^{ab} , E^{ta} , E^{an} باعث دگرسانی و کانی‌سازی در خود و در واحدهای مجاور در نزدیکی هیزه‌جان شده است. بافت داریستی در واحد نیمه عمیق آتشفسانی دیده شود که به شدت دگرسان شده است. توده نفوذی کالجان مرکز فعالیت ماقمایی می‌بینان کانی‌سازی در منطقه بوده است و سایر توده‌ها و دایک‌ها در حقیقت شاخه‌هایی منشعب از این توده هستند. در بخش‌های جنوب غربی و شرق منطقه تعدادی دایک آندزیتی با ضخامت‌های 5 m تا 50 m و طول چندین 10 km

فعالیت‌های سیلابی همزمان با آخرین فعالیت‌های آتشفسانی باعث ایجاد مجموعه کنگلومرا و لاهار با قطعات درشت سنگ‌های آتشفسانی شده است که در حاشیه جاده شرف‌آباد به کالجان مشاهده می‌شود و در نقشه با علامت Q^{og} نشان داده شده و ترکیب قطعات آتشفسانی آنها آندزیتی است. سنگ‌های آتشفسانی و آواری - آتشفسانی ائوسن را مجموعه‌ای از توده‌های نیمه عمیق کوارتزمنزودیوریت پورفیری تا دیوریت پورفیری (mdp) قطع نموده است و بیشترین رخمنون آن در نزدیکی روستای هیزه‌جان با امتداد شمالی - جنوبی به قطر بزرگ 1650 m و قطر کوچک 450 m و در امتداد رودخانه هیزه‌جان به صورت چند توده کوچک دیده می‌شود. رنگ ظاهری آن خاکستری با بافت پورفیری و به صورت استوک‌های کوچک و بزرگ و دایک رخمنون داشته و دارای ترکیب

باپیریت، گالن و اسفالریت هستند. روند این رگه‌ها بیشتر شمال‌شرق-جنوب‌غرب هستند و بیشترین تمرکز آنها در بخش جنوبی است. در مجموع، ۱۸ رخمنون، رگه و پهنه گسله همراه با کانی‌سازی با ۰،۲۵ تا ۲۵ متر پهنا و طول ۳ تا ۱۰۵۰ متر شناسایی شده است [۱۵]. ساخت و بافت بیشتر رگه‌ها و پهنه‌های کانساری از نوع برشی بوده و نشان‌دهنده تشکیل کانی‌ها در فضای بین شکستگی‌ها و برش‌ها به صورت پرکننده است. دگرسانی: در محدوده مزرعه شادی-هیزه‌جان پهنه‌های دگرسانی در وسعت زیاد و بیشتر در مرکز و در نزدیکی روستای هیزه‌جان وجود دارد. به منظور تفکیک دگرسانی‌ها، از شواهد صحرایی، نتایج تجزیه XRD نمونه‌های سطحی و بررسی مقاطع نازک استفاده شده است. دگرسانی‌های موجود در منطقه مورد بررسی عبارتند از (شکل ۳):

متر تا ۲۵۰ متر و با روندهای شمال‌شرق-جنوب‌غرب و شرقی-غربی دید شده است. به طور کلی گسل‌ها دارای سه روند NW-SE، NE-SW، N-S، NW-SE هستند. تراکم گسل‌ها به سمت مرکز منطقه افزایش یافته است و در نتیجه میزان خروج محلول‌های گرمابی و دگرسانی که نسبت مستقیم با میزان تراکم این شکستگی‌ها دارد در این محدوده‌ها دارای شدت زیادی است [۱۶]. در بعضی قسمت‌ها روی سنگ‌های دگرسان شده رسی، کلاهک‌های سیلیسی (Si) (متشکل از ژاسپر، اوپال و کلسدونی رخمنون دارند. سنگ‌های آتش‌شانی ائوسن را مجموعه‌ای از رگه‌های سیلیسی با ترکیب کوارتز متخلخل، ژاسپر و کلسدونی همراه با کلسیت و اکسید‌آهن قطع نموده‌اند که مربوط به گرمای توده‌های نفوذی نیمه عمیق کوارتز‌زمونزدیوریت یا فعالیت‌های مانگمازی جوانتر بوده و شامل کانی‌سازی جزئی مس و طلا به صورت کالکوپیریت همراه



شکل ۳ نقشه دگرسانی منطقه مورد بررسی.

دگرسانی فیلیک: حضور کانی سریسیت در بخش‌هایی از محدوده مورد بررسی نشان‌دهنده دگرسانی فیلیک است این نوع دگرسانی در شمال‌شرق، جنوب‌شرق و جنوب‌غرب هیزه‌جان دیده می‌شود. این نوع دگرسانی نسبت به سایر دگرسانی‌ها بیشترین حجم را در مغزه‌های حفاری نشان می‌دهد. نتایج XRD نمونه‌ها نشان‌دهنده حضور کانی‌های کوارتز، ژیپس و مسکویت-سریسیت در فاز اصلی و مونتموریولونیت در فاز فرعی است. پیریت نیز در بیشتر نمونه‌ها دیده می‌شود. بیشتر پلازیوکلازها به طور کامل به سریسیت تجزیه شده‌اند و با نزدیک شدن به پهنه‌های کانی‌سازی شدت این نوع دگرسانی بیشتر می‌شود. سنگ‌های آندزیتی در برخی موارد دچار دگرسانی نوع فیلیکی نیز شده‌اند.

دگرسانی پتابسیمی: این نوع دگرسانی در سطح زمین دیده نشده و تنها در عمق حدود ۲۸۴ متری گمانه^۴ مشاهده شده است. وجود این نوع دگرسانی در عمق به احتمال زیاد نشان از تزریق یک فاز جوانتر به درون توده نفوذی کوارزمونزوودیوریتی است. دگرسانی پتابسیمی با پرشدگی فضاهای خالی با فلDSPار، کوارتز و کانی‌های کدر مشخص می‌شود.

دگرسانی سیلیسی: سیلیس در منطقه به سه صورت عمدۀ دیده می‌شود:

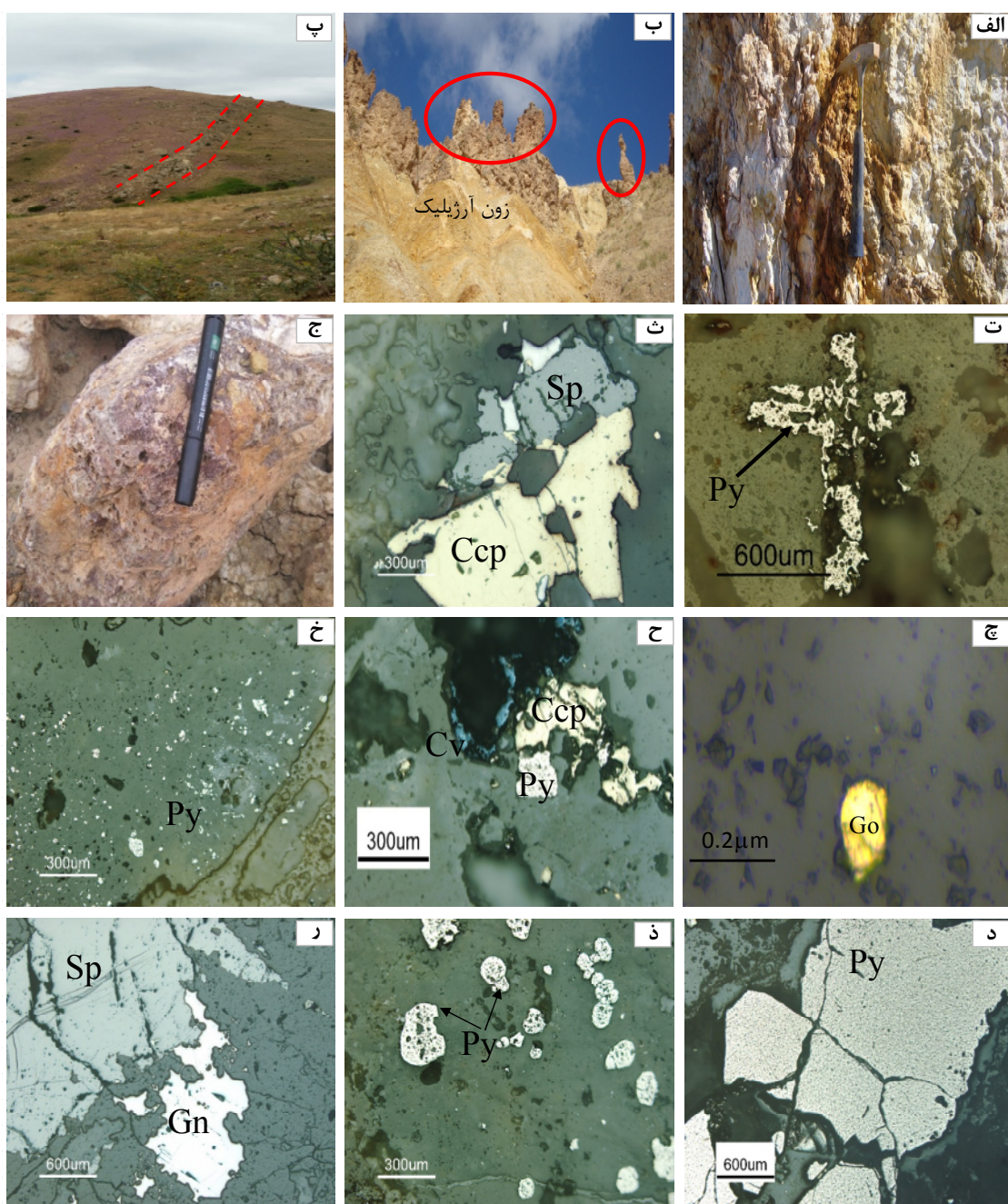
- ۱- داربستی در شمال‌شرق روستای هیزه‌جان
- ۲- کلاهک‌های سیلیسی در غرب و جنوب‌غرب هیزه‌جان که تشکیل قسمت‌های خشن در بخش‌های مرتفع را داده‌اند.
- ۳- رگه‌ها و رگچه‌های سیلیسی در جنوب غرب منطقه با روندهای متفاوت

دگرسانی سیلیسی به طور عمدۀ بر پهنه‌های گسلی دیده می‌شود و بیشتر با کانی‌سازی سولفیدی همراه است. در حاشیه رگه‌ها کوارتز به دو شکل رگچه‌ای و پر کننده فضاهای خالی و جانشینی وجود دارد. در بخش‌های فوقانی دگرسانی رسی کلاهک‌های سیلیسی به طور پراکنده دیده می‌شوند که به علت مقاومت بیشتر آنها در برابر هوازدگی و افزایش سیلیس در آنها، ریخت‌شناسی خشن و برجسته به آن داده است (شکل ۴ ب). در منطقه مزرعه شادی- هیزه‌جان، اکتشاف طلا در رگه‌های سیلیسی طلدار (شکل ۴ پ) انجام می‌شود [۱۵]. دگرسانی در حاشیه رگه‌ها شامل سیلیسی شدن، رسی و سریسیتی شدن و پیریتی شدن است.

دگرسانی پروپلیتیک: این نوع دگرسانی با رنگ سبز روشن تا تیره و به طور پراکنده و با وسعت کم در جنوب‌غرب و شمال‌شرق و به طور جزئی در بخش میانی دیده می‌شود. این نوع دگرسانی بیشتر در حاشیه دگرسانی رسی قرار دارد و در گمانه‌های اکتشافی به طور عمدۀ در آندزیت‌ها رخ داده است. در نمونه‌های مورد بررسی، زمینه بیشتر شامل مجموعه‌ای از اپیدوت، سریسیت، کائولینیت، کربنات و کلریت است و کانی‌های آمفیبول، پیروکسن و بیوتیت به کلریت، کلسیت، سریسیت اپیدوت و هیدروواکسیدهای آهن تبدیل شده‌اند. بیشتر پلازیوکلازها نیز به طور بخشی و گاه به صورت کامل به مجموعه‌ای از کربنات، کلریت، سریسیت و در مواردی به اپیدوت تجزیه شده‌اند.

دگرسانی رسی: این نوع دگرسانی به طور وسیع در بخش میانی و در بخش‌های غربی و شرقی منطقه دیده می‌شود. بر اساس شواهد صحرایی این نوع دگرسانی در ارتباط با واحدهای توفی و گدازهای ائوسن بوده و در اثر هیدرولیز شدید فلدسپات‌ها (محیط اسیدی)، کانی‌های رسی مانند کائولینیت تشکیل شده است (شکل ۴ الف). بر اساس نتایج XRD، نمونه‌های برداشتی کانی‌های اصلی شامل کائولینیت، مونت موریولونیت و کلسیت هستند. بیشتر پلازیوکلازها، آمفیبول‌ها و پیروکسن‌ها به مجموعه‌ای از کوارتز، کائولینیت، هماتیت، کلریت و گوتیت تجزیه شده‌اند. این دگرسانی دارای وسعت زیادی در سطح است و با نوع فیلیک همپوشانی نشان می‌دهد. دگرسانی رسی در یک فاز تاخیری نسبت به دگرسانی فیلیک رخ داده است.

دگرسانی رسی پیشرفتۀ: با توجه به شدت هیدرولیز، دما، ترکیب محلول، ترکیب کانی‌شناسی و بافت اولیه سنگ کانی‌های ایجاد شده در این دگرسانی متنوع هستند. این نوع دگرسانی شامل رگه‌ها و رگچه‌های سیلیسی همراه با کائولینیت، پیروفیلیت و سریسیت است و در نیمه شرقی به ویژه در شمال و شرق روستای هیزه‌جان دیده می‌شود. بیشتر پلازیوکلازها به سریسیت و آمفیبول‌ها به کانی‌های کدر تجزیه شده‌اند. نتایج XRD نمونه‌ها نشان‌دهنده حضور کانی‌های کوارتز، کائولینیت، مسکویت، آیلیت، آنکریت، دیکیت، آلونیت و مونتموریولونیت است. این نوع دگرسانی در حاشیه رگه‌های سیلیسی در منطقه مزرعه شادی دیده نشده است.



شکل ۴ (الف) دگرسانی رسی در مزرعه‌شادی (ب) کلاهک‌های سیلیسی در منطقه رسی پیشرفت‌ه (پ) دورنمایی از رخنمون رگه سیلیسی در مزرعه‌شادی (ت) تشکیل پیریت به شکل صلیب در رگه سیلیسی (ث) همرشدی اسفالریت و کالکوپیریت (ج) کوارتز حفره‌ای در نمونه دستی (ج) طلای آزاد در کوارتز (ح) همرشدی کالکوپیریت و پیریت با کوولیت (خ) پیریت به صورت پراکنده (ذ) پیریت‌های بی‌شکل را همرشدی گالن و اسفالریت.

کانه‌های تشکیل دهنده شامل پیریت، کالکوپیریت، طلا، گالن، کوولیت و اسفالریت است (شکل‌های ۴ ت-ر). فراورده دگرسانی پیریت متشکل از هماتیت، گوتیت و لیمونیت است و علاوه بر آنها جاروسیت و آلونیت نیز همراه باکسیدها و هیدروواکسیدهای آهن در متن سنگ و درزهای شکافها دیده

کانی‌سازی

مهمترین سیمای کانی‌سازی در منطقه مزرعه شادی- هیزه- جان، پهنه‌های کانی‌سازی رگه‌ای - رگه‌های توسط گسل‌ها و پهنه‌های گسلی کنترل شده است. کانی‌های اصلی تشکیل دهنده رگه‌ها کوارتز، ژاسپر، فلدسپات و کلسیت است و

زمین‌شیمی

به منظور پی جویی‌های زمین‌شیمیایی، ۱۲۵ نمونه زیر سطحی از گمانه‌های اکتشافی و تعداد ۱۰۰ نمونه از رخنمون‌های سطحی، برداشت شدند. با توجه به نتایج حاصل از تجزیه نمونه‌های زیرسطحی الگوی توزیع عناصر ترسیم شد و از تجزیه نمونه‌های برداشت شده مقادیر بالای طلا، سرب، نقره، مس و روی گزارش شده است. توزیع عناصر به طور خلاصه به شرح زیر است: (۱) بیشترین مقدار طلا در نمونه‌های سطحی در رگه‌های سیلیسی ۱۷۱۰۰ میلی‌گرم در تن و در نمونه‌های زیرسطحی ۸۱۳ میلی‌گرم در تن بود. (۲) بیشترین مقدار سرب در رگه‌های سیلیسی ۲۱۰۰ گرم در تن و در نمونه‌های زیرسطحی ۴۷۵۰ گرم در تن بود. (۳) بیشترین مقدار روی در نمونه‌های سطحی در رگه‌های سیلیسی ۳۳۳ گرم در تن و در نمونه‌های زیرسطحی ۱۴۵۰ گرم در تن بود. (۴) بیشترین مقدار نقره در رگه‌های سیلیسی سطحی و نمونه‌های زیرسطحی به ترتیب ۹,۴۳ و ۵,۳ گرم در تن دیده شد. (۵) بیشترین مقدار مس متعلق به نمونه‌های زیرسطحی و برابر با ۳۴۱۰ گرم در تن بود، در حالیکه بیشترین مقدار آن در رگه‌های سیلیسی سطحی ۶۱۱ گرم در تن بدست آمد. (جدول‌های ۱ و ۲). دلایل تغییرات مقدار عناصر از سطح به عمق در بخش بحث و بررسی تیار شده است.

می‌شوند. مهمترین ساخت در کانی‌سازی مزرعه‌شادی برش‌های رگه‌ای چند مرحله‌ای است که در تشکیل آنها فرایندهای گرمابی نقش مهمتری نسبت به فعالیت‌های زمین‌ساختی داشته و محلول‌های کانه‌دار به حالت پرکننده مواد خود را در فضای بین قطعات خرد شده بر جای گذاشته‌اند. از دیگر بافت‌های مهم می‌توان از برش خرد شده، بافت شانه‌ای، کوارتز هفره‌ای (شکل ۴ ج)، بافت کوکاد، بافت جعبه‌ای و کلسیت تیغه‌ای بافت شبکه‌ای در فضای خالی برش سیلیسی نام برد [۱۵]. مهمترین بافت‌های مشاهده شده در کانی‌های بافت پرکننده فضای خالی (شکل ۴ ت)، طلای آزاد در کوارتز (شکل ۴ ج)، بافت همرشدی (شکل‌های ۴ ح-ر)، بافت پراکننده (شکل ۴ خ)، بافت میانبار و بافت‌های شکل‌دار (شکل ۴ د)، نیمه شکل‌دار و بی‌شکل (شکل ۴ ذ) است. رگه‌های سیلیسی دارای روندهای متفاوت بوده و نتایج تجزیه عنزی نشان دهنده مقادیر بالای طلا و سرب در آنهاست. بلورهای شکل‌دار گالن همراه با پیریت دیده می‌شوند. بیهنجاری طلا در رگه‌های سیلیسی طladar با سنگ میزان آندزیت تا تراکی آندزیت دیده می‌شود. دگرسانی در رگه‌های طladar شامل یک دگرسانی سیلیسی است که اغلب به سمت خارج به دگرسانی رسی منتهی می‌شود.

جدول ۱ نتایج تجزیه زمین‌شیمیایی نمونه‌های برداشت شده از رگه‌های سیلیسی طladar.

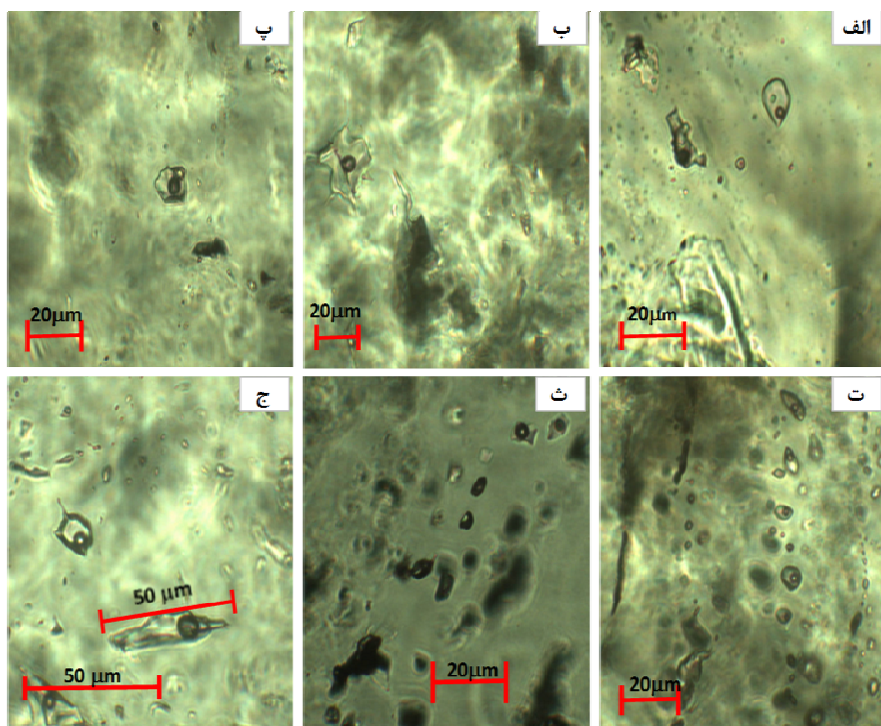
name	Au (ppb)	Pb	Ag	Cu	Zn	Mo	As	Sb	Bi	S	Sn	W	Te	Rb	k	Mn	Ti	Tl
KSI56	۸	۸,۳	۰,۳۶	۳۰,۳	۵,۹	۶,۳	۶۸۴	۰,۹	۰,۱	۲۱۰۰	۰,۹	۱,۹	۰	۵,۱	۶۸۴۰	۶۲	۳۵۶۰	۰,۳
KSI57	۲	۱۱	۰,۲۳	۱۵	۲,۴	۸,۵	۳۷۷	۰,۷	۰,۲	۱۲۲۰۰	۰,۹	۱,۵	۰	۲,۹	۴۶۵۰	۸۰	۳۰۳۰	۰
KSI59	۲	۱۱,۴	۰,۲۸	۲۲,۱	۲,۳	۳,۴	۳۸۲	۰,۷	۰,۱	۱۶۴۰۰	۱,۲	۱,۷	۰	۳,۳	۴۰۴۰	۶۵	۴۲۸۰	۰,۹
KSI60	۱	۱۲,۲	۰,۲	۲۲,۲	۲,۴	۳,۳	۲۷۸	۰,۶	۰,۱	۳۸۶۰۰	۰,۸	۱,۴	۰	۴,۴	۱۳۱۰۰	۷۸	۳۶۶۰	۰,۴
KSI65	۹	۸	۰,۲۳	۱۳,۴	۰,۹	۵,۹	۵۳	۰,۸	۰,۱	۲۲۵۰	۱,۱	۱,۳	۰	۱,۷	۱۲۶۰	۴۵	۳۸۴۰	۰,۱
KSI66	۳	۱۳,۲	۰,۳۹	۴۲,۲	۵,۸	۹	۱۴۵	۱	۰,۱	۴۴۳۰	۱,۶	۱,۶	۰	۲	۱۸۳۰	۷۶	۶۶۵۰	۱,۴
KSI71	۴	۱۷,۵	۰,۳۶	۲۶۱	۱۴,۷	۱۸	۱۸۲۰	۱	۰,۲	۵۷۵۰	۱	۱,۳	۰	۱,۵	۱۴۸۰	۱۲۷	۴۶۱۰	۰,۳
KSI73	۳	۲۴,۸	۰,۳۲	۳۳,۳	۳,۲	۸,۵	۱۵۱	۱,۳	۰	۲۰۷۰۰	۱,۲	۲,۹	۰	۳,۳	۵۹۹۰	۸۸	۵۷۵۰	۰,۶
KSI74	۵	۳۲,۵	۰,۲۳	۱۶,۷	۳,۷	۹,۲	۹۳,۱	۱,۱	۰,۶	۱۸۶۰۰	۱	۳,۴	۰	۲,۱	۵۴۴۰	۳۳	۴۰۴۰	۰
KSI75	۸۹۵	۴۳۰۰	۳,۲۱	۶۱۱	۱۴۴	۹	۸۵,۴	۳۷,۷	۰,۲	۲۰۱۰۰	۰,۵	۲,۱	۱,۳	۹,۱	۸۳۰۰	۶۵	۸۴۸	۰,۴
KSI77	۴۵۶	۳۱۲۰	۶,۱	۱۵۸	۷۱,۵	۴,۹	۲۴۹	۱۳,۱	۰,۹	۹۶۳۰	۰,۶	۳,۲	۰,۹	۵,۵	۴۶۹۰	۱۲۴	۱۸۸۰	۰,۵
KSI78	۲۴۲۰	۳۸۴۰	۱,۶۹	۶۸,۹	۳۲۳	۱۲,۳	۶۹۹	۲۵,۴	۰,۲	۲۰۸۰۰	۰,۶	۶,۸	۰,۴	۲۵,۶	۸۵۸۰	۷۱	۳۱۱۰	۷,۳
KSI81	۱۷۱۰۰	۲۱۱۰۰	۹,۴۳	۲۵۱	۱۸۲	۱,۸	۱۱۴	۱۵,۶	۰,۲	۱۶۵۰۰	۰,۵	۴,۲	۰,۶	۴,۱	۵۷۹۰	۱۰۲	۴۹۸	۰,۷
KSI82	۱۲۲	۱۵۳	۰,۸۷	۸,۲	۱۰,۴	۲,۱	۲۸,۶	۱,۷	۰,۶	۱۸۳۰۰	۰,۸	۱,۱	۰,۸	۷۶,۵	۳۱۳۰۰	۲۸	۲۱۲۰	۱,۶
KSI85	۲۹	۶۶,۶	۰,۷۷۳	۴۵	۷,۱	۳,۱	۱۷,۲	۱,۱	۰,۸	۲۲۰۰	۲	۱,۳	۰,۵	۹۷,۳	۳۲۲۰۰	۶۱	۴۶۱۰	۱,۷
KSI87	۱۲۸۰	۸۶۷	۲,۹۴	۱۳,۹	۳۱,۸	۲	۱۱,۶	۲۸,۵	۰,۶	۱۱۸۰	۰,۶	۰,۲	۰	۴,۱	۱۲۲۰۰	۴۹	۷۴۰	۰,۶

جدول ۲ نتایج تجزیه زمین‌شیمیایی نمونه‌های برداشت شده از گمانه‌های اکتشافی

نام	عمره	Cu	Mo	Pb	Zn	Au	Ag	نام	عمره	Cu	Mo	Pb	Zn	Au	Ag
H6	۵	۵۰	۸	۷	۲۵	.	.۱	H7	۲۴۵	۲۱	۲	۱۱۷	۹۹	.	.۵
H6	۱۵	۱۸	.۵	۷	۵۶	.	.۱	H7	۲۵۵	۲۳	۲	۹۴	۱۰۲	.	.۷
H6	۲۵	۱۴	.۵	۶	۲۱	.	.۱	H7	۲۶۵	۴۹	۲	۱۱	۷۶	.	.۱
H6	۳۵	۲۴	.۵	۶	۳۵	.	.۱	H7	۲۷۵	۵۰	۱	۱۴	۷۹	.	.۱
H6	۴۵	۲۹	.۵	۴	۳۹	.	.۱	H7	۲۸۵	۵۳	۱	۱۳	۸۸	.	.۱
H6	۵۵	۸۵	.۵	۸	۵۶	.	.۱	H7	۲۹۵	۳۴۱	۱۷	۱۴	۷۵	.	.۲۱
H6	۶۵	۸۰	.۵	۸	۵۳	.	.۱	H8	۵	۷۲	.۵	۵	۹۲	.	.۶
H6	۷۵	۸۱	.۵	۸	۵۵	.	.۱	H8	۱۵	۶۷	.۵	۲۱	۱۴۱	.	.۱
H6	۸۵	۵۷	۱	۶	۹۰	.	.۱	H8	۲۵	۵۹	.۵	۲۳	۱۱۱	.	.۶
H6	۹۵	۴۴	۲	۱۱	۱۸۸	.	.۱	H8	۳۵	۹۷	.۵	۱۲۱	۳۲۰	.	.۳
H6	۱۰۵	۴۲	.۵	۸	۷۹	.	.۱	H8	۴۵	۱۰۰	.۵	۱۲۷	۳۲۹	.	.۲
H6	۱۱۵	۲۳	.۵	۷	۶۷	.	.۱	H8	۵۵	۶۶	.۵	۴۸	۱۵۵	.	.۲
H6	۱۲۵	۵۴	۳	۸	۱۹۳	.	.۱	H8	۶۳	۳۹	۱	۵۱	۳۱۷	.۰۰۷	.۰۵
H6	۱۳۵	۴۳	۱	۵	۷۵	.	.۱	H8	۷۵	۵۵	.۵	۱۶۲	۴۱۲	.	.۱
H6	۱۴۵	۸	۸	۱۷	۱۴	.	.۱	H8	۸۵	۵۵	.۵	۱۶۱	۳۹۸	.	.۷
H6	۱۵۵	۷	۸	۱۳	۱۳	.	.۱	H8	۹۵	۲۵	.۵	۵۹	۳۶۹	.	.۴
H6	۱۶۵	۱۲	۲	۱۴	۲۲	.	.۱	H8	۱۰۵	۵۰	۱	۱۳۵	۴۲۶	.	.۹
H6	۱۷۵	۲۲	۲	۲۰	۳۵	.	.۱	H8	۱۱۵	۲۴	۱	۵۸	۱۱۳	.	.۷
H6	۱۸۵	۷	۳	۱۶	۱۵	.	.۱	H8	۱۲۵	۳۹	.۵	۲۴۴	۴۹۹	.	.۱۳
H6	۱۹۷	۲۶	۱۸	۳۱	۴	.۰۰۱	.۱	H8	۱۳۵	۴۰	۲	۵۸	۲۰۷	.	.۲۸
H6	۲۰۵	۲۸	۵۲	۱۶	۲۶	.	.۱	H8	۱۴۵	۳۱	۲	۱۶۷	۱۴۵۰	.	.۳۸
H6	۲۴۵	۶۸	۸	۲۵	۲۷	.	.۱	H8	۱۵۵	۴۶	۰	۴۷۰۰	۷۹۱	.	.۵۳
H6	۲۲۵	۷۰	۹	۲۳	۳۸	.	.۱	H8	۱۶۵	۵۳	۴	۴۷۵۰	۷۹۶	.	.۵۳
H6	۲۳۵	۲۱	۴	۲۳	۳۰	.	.۱	H8	۱۷۵	۱۵	۱	۲۰۵	۱۱۸۵	.	.۲۱
H6	۲۴۵	۲۱	۴	۲۳	۳۲	.	.۱	H8	۱۸۵	۱۴	۱	۲۷۶	۱۰۸۰	.	.۱۲
H6	۲۵۵	۱۹	۱۲	۲۸	۴۰	.	.۱	H8	۱۹۵	۸	.۵	۱۱۷	۱۸۳	.	.۱
H6	۲۶۵	۱۸	۱۵	۲۹	۴۴	.	.۱	H8	۲۰۵	۱۹	۲	۳۴	۹۲	.	.۰۵
H6	۲۷۵	۲۱	۵	۱۲	۸	.	.۱	H8	۲۱۵	۱۰۲	۲	۱۰	۵۷	.	.۲۸
H6	۲۸۵	۲۳	۵	۱۲	۹	.	.۱	H8	۲۲۵	۵۷	.۵	۱۵	۶۰	.	.۱۸
H6	۲۹۵	۱۴	۱	۱۶	۱۱۷	.	.۱	H8	۲۳۵	۵۱	۱	۱۸	۶۲	.	.۱۲
H6	۳۰۵	۱۵	۲	۱۷	۱۳۰	.	.۱	H8	۲۴۵	۴۵	۱	۱۵	۶۱	.	.۱۳
H6	۳۱۵	۵۶	۳	۷۱	۶۲	.	.۱	H8	۲۵۵	۱۶	۲	۴۶	۲۰۴	.	.۰۵
H6	۳۲۵	۶۲	۵	۷۵	۶۴	.	.۱	H8	۲۶۵	۷۹	۱	۱۴	۶۱	.	.۱۴
H6	۳۳۵	۴۶	۱	۶۵	۱۷۲	.	.۱	H8	۲۷۵	۷۹	۱	۱۴	۶۲	.	.۱۱
H6	۳۴۵	۴۲	۱	۶۷	۱۶۹	.	.۱	H8	۲۸۵	۱۱۱	۳	۱۴	۶۰	.	.۳۳
H7	۵	۴۹	۲	۱۸۰	۵۵	.	.۰۲	H11	۲۹۵	۱۱۲	۴	۱۵	۶۰	.	.۳۲
H7	۱۵	۱۲۵	۵	۶۶۰	۲۹	.	.۰۴	H11	۳۰۵	۵۶	.۰۵	۷۱	۲۳۱	.	.۰۳
H7	۲۵	۱۰۱	۲	۱۲۲	۴۸	.	.۰۲	H11	۳۱۵	۵۶	.۰۵	۵۶	۲۷۷	.	.۰۱
H7	۳۵	۶۲	۲	۹۹	۱۲۲	.	.۰۸	H11	۳۵	۶۰	۲	۱۵	۶۹	.	.۲۱
H7	۴۵	۶۲	۱	۱۰۶	۶۰۲	.۰۲۹	.۰۲	H11	۱۵	۶۰	۱	۴	۵۵	.	.۰۱
H7	۴۷	۳۹	۲	۲۸۷	۱۰۲	.۰۸۱	.۰۴	H11	۲۵	۳۰	۶	۱۳	۴۸	.	.۰۱
H7	۴۹	۱۴۰	۴	۱۶۵۵	۱۲۱	.۰۳۴	۲	H11	۳۵	۴۰	۲	۱۵	۱۱۰	.	.۰۲
H7	۵۵	۶۱	۱	۱۰۵	۸۷	.۰۳۱	.۰۱	H11	۴۵	۵۰	۰	۱۷	۹۴۳	.	.۰۵
H7	۶۰	۷۴	۲	۴۴۳	۱۴۶	.۰۲۱	.۰۴	H11	۵۵	۵۰	۲	۲۵۴	۱۲۶۰	.	.۰۶
H7	۷۵	۸۱	۲	۳۰	۲۰۱	.	.۰۳	H11	۶۵	۳۰	۲	۱۱۰	۵۶۵	.	.۱۴
H7	۸۰	۷۷	۱	۱۱	۲۴۱	.	.۰۱	H11	۷۵	۲۰	۷	۱۴	۵۸	.	.۰۱
H7	۹۰	۳۹	۱	۱۰۵	۲۷۸	.	.۰۳	H11	۸۵	۲۰	۰	۹	۷۷	.	.۰۱
H7	۱۰۵	۷۱	۱	۹	۱۱۷	.	.۰۱	H11	۹۵	۴۰	۳	۱۰۴	۷۸۸	.	.۰۲
H7	۱۱۵	۶۸	۲	۴۸	۳۹۵	.	.۰۱	H11	۱۰۵	۸۰	۲	۱۹	۸۲	.	.۰۳
H7	۱۲۵	۷۷	۱	۲۰	۲۰۹	.	.۰۱	H11	۱۱۵	۷۰	۱	۶	۸۵	.	.۰۲
H7	۱۳۵	۷۴	۱	۲۲	۹۸	.	.۰۱	H11	۱۲۵	۳۰	۳	۴	۴۷	.	.۰۱
H7	۱۴۵	۵۶	۱	۳۳	۲۱۹	.	.۰۱	H11	۱۳۵	۵۰	۳	۱۱	۵۴	.	.۰۱
H7	۱۵۵	۲۸	۲	۱۲۵	۱۴۳	.۰۰۳	.۰۴	H11	۱۴۵	۶۰	۳	۳	۸۱	.	.۰۳
H7	۱۶۷	۱۲	۱۱	۴۰۴	۱۰۲۰	.۰۰۵	.۰۲	H11	۱۵۵	۱۱۰	۱	۱۵	۱۱۰	.	.۰۲
H7	۱۶۹	۱۱	۹	۳۹۴	۹۸۸	.۰۰۴	.۰۱	H11	۱۶۵	۳۰	۲	۳۰	۱۱۴	.	.۰۳
H7	۱۶۸	۲۲	۸	۲۹	۸۰	.	.۰۱	H11	۱۷۵	۶۰	۲	۷۰	۷۹	.	.۰۲
H7	۱۷۵	۴۹	۲	۲۶	۸۱	.	.۰۱	H11	۱۸۵	۳۰	۲	۲۳	۳۷	.	.۰۲
H7	۱۸۵	۳۰	۱	۳۰	۱۹۱	.	.۰۱	H11	۱۹۵	۴۰	۱	۱۶	۴۷	.	.۰۲
H7	۱۹۵	۶۶	۱	۷	۷۶	.	.۰۱	H11	۲۰۵	۳۰	۱	۲۶	۵۲	.	.۰۱
H7	۲۱۵	۵۷	۳	۱۰	۶۰	.	.۰۱	H11	۲۲۵	۵۰	۲	۲۹	۱۰۱	.	.۰۱
H7	۲۲۵	۴۴	۴	۱۱۸	۲۶۸	.	.۰۲	H11	۲۳۵	۴۰	۲	۸	۴۳	.	.۰۱
H7	۲۳۵	۱۹	۲	۴۴	۸۵	.	.۰۱								

بین ۴ تا ۹۲ میکرون هستند و دمای همگن شدگی با تبدیل بخار به مایع از ۱۶۰ تا ۳۰۸ درجه سانتی گراد و شوری آنها بین ۰,۱۷ تا ۵,۲ متفاوت بوده است. میانبارهای دوفازی غنی از گاز بیشتر در نمونه‌های سطحی دیده شده‌اند و اندازه آنها بین ۷ تا ۱۷ میکرون بوده و دارای شوری بین ۰,۵ تا ۱,۸ و دمای همگن شدگی آنها با تبدیل مایع به بخار در حدود ۱۷۳ تا ۳۲۴ درجه سانتی گراد هستند. در هر دو میانبار غنی از مایع و غنی از گاز کانی نوزاد مشاهده نشد. میانبارهای تک فاز گازی کمتر از بقیه میانبارها بوده و اندازه آنها بین ۱۰ تا ۳۱ میکرون است. شوری و دماهای همگن شدگی و ذوب یخ برای ۱۰۶ میانبار اندازه‌گیری شد. محل نمونه‌ها در شکل ۳ نشان داده شده است. دمای همگن شدگی برای نمونه‌های سطحی و زیرسطحی به ترتیب بین ۱۶۰ تا ۳۲۴ و بین ۱۷۶ تا ۳۰۲ درجه سانتی گراد است. میانگین دمای همگن شدگی ۲۲۸ درجه سانتی گراد و میانگین شوری ۱,۹ با بیشینه ۵,۱ درصد وزنی معادل NaCl است. دمای ذوب یخ بین ۲/۲ تا ۳/۲- تغییر می‌کند (جدول ۳). نمودار ستونی درصد فراوانی شوری، دمای همگن-شدگی، ذوب‌نهایی یخ، چگالی و اندازه میانبارهای سیال در شکل ۶ آورده شده است.

سنگنگاری و ریزدماسنجی میانبارهای سیال
بررسی‌های سنگنگاری و ریزدماسنجی بر میانبارهای سیال رگه‌های کوارتز کانه‌دار در نمونه‌های سطحی و گمانه‌های اکتشافی دارای کانه‌زایی سولفیدی صورت گرفت. اندازه میانبارها در نمونه‌ها از کمتر از ۵ میکرومتر تا ۹۰ میکرومتر متغیر است، اما بیشتر آنها اندازه بین ۵ تا ۲۵ میکرومتر دارند. بیشتر میانبارهای کوارتز، در دمای اتاق دو فازی (مایع + بخار) هستند به گونه‌ای که حباب‌های بخار ۳۰ درصد حجم میانبار را اشغال می‌کنند. تعداد کمی از میانبارهای سیال غنی از فاز بخار هستند و برقی نیز تنها از مایع تشکیل شده‌اند. بیشتر میانبارها بدون شکل هندسی مشخص، کم و بیش کروی هستند همزیستی میانبارهای غنی از مایع و غنی از بخار دیده شد و کانی نوزاد در میانبارها دیده نشد. میانبارهای سیال بر اساس معیارهای مرجع [۱۶] از نوع اولیه هستند و اندازه‌گیری‌ها بر میانبارهایی که به صورت جدا از هم وجود دارند، صورت گرفت. براساس نسبت فازهای تشکیل دهنده، سه نوع میانبار سیال شناسایی شده شامل میانبارهای دو فازی غنی از مایع (LV)، دو فازی غنی از گاز (VL) و تک فاز گاز (V) هستند (شکل ۵). بیشتر میانبارها از نوع دوفازی غنی از مایع بوده و اندازه-گیری‌ها بیشتر بر آنها انجام شد. این نوع میانبارها دارای اندازه-



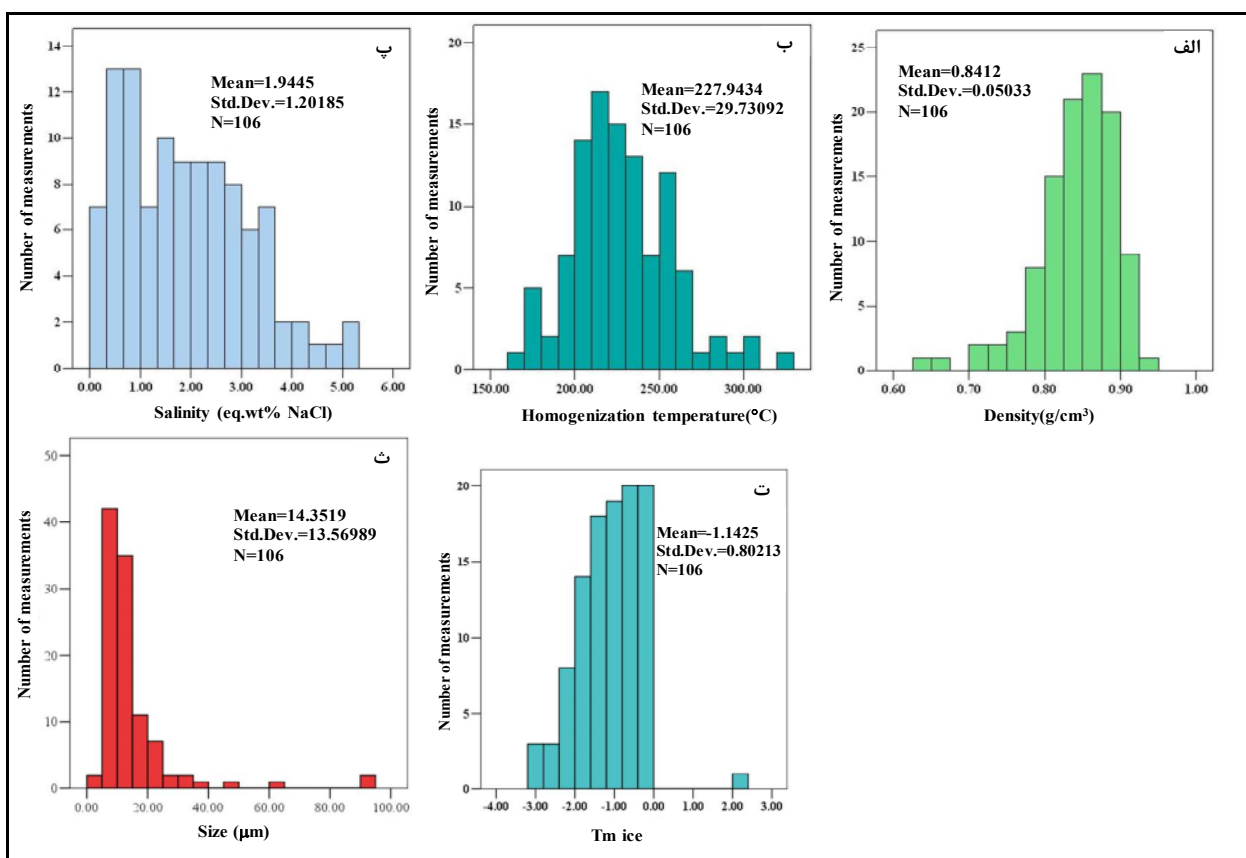
شکل ۵ انواع میانبارها در مزرعه‌شادی (الف-ت) میانبارهای اولیه غنی از فاز مایع (ث) همزیستی میانبارهای اولیه غنی از فاز مایع و غنی از فاز گاز (ج) میانبارهای بزرگ اولیه در رگه‌های سیلیسی نمونه‌های سطحی.

جدول ۳ نتایج بررسی میانبارهای سیال در هیزه‌جان-مزرعه‌شادی (نمونه‌های سطحی با R و نمونه‌های برداشتی از گمانه‌های اکتشافی با H و عمق نمونه‌ها با D نشان داده است).

Sample	Type	Origin	Tfm (°C)	Tlm, ice (°C)	Th (°C)	Salinity Wt. %	Density g/cm³	Phase transition	Size (µm)	Shape	Au (ppb)	Zn+Pb (ppm)
R-19	LV	P	-0,1	30,8,2	0,166	0,672	L	61,1	Elongate	59	1156	
R-19	LV	P	-21	-1,3	178,9	2,143	0,908	L	13,9	Irregular		
R-19	VL	P	-0,8	173,4	1,322	0,908	V	7,3	Irregular			
R-19	VL	P	-0,7	287,1	1,158	0,733	V	15	Spherical			
R-19	LV	P	-0,5	221,1	0,827	0,844	L	12	Spherical			
R-19	LV	P	-26	-2,8	20,1,9	4,546	0,902	L	52	Spherical		
R-19	LV	P	-23	-2,3	20,9,5	3,757	0,887	L	16	Elongate		
R-19	VL	P	-1,1	178,2	1,116	0,906	V	61	Elongate			
R-19	LV	P	-1,9	20,4,5	3,117	0,887	L	7,4	Spherical			
R-19	LV	P	-22	-1,6	251,7	2,632	0,818	L	11,4	Spherical		
R-19	LV	P	-22	-2,1	256,6	3,438	0,819	L	16,3	Spherical		
R-19	LV	P	-1,4	231,2	2,306	0,844	L	11,3	Spherical			
R-19	LV	P	-26	267,3	4,222	0,81	L	69	Spherical			
R-19	LV	P	-2	21,0,4	3,278	0,881	L	9,7	Elongate			
R-19	LV	P	-23	-1,8	19,0,5	2,959	0,9	L	11,1	Elongate		
R-19	VL	P	-22	-0,9	270	1,487	0,771	V	12,1	Spherical		
R-19	VL	P	-22	-0,4	298,3	0,662	0,702	V	31,2	Elongate		
R-19	VL	P	-0,1	255,9	0,166	0,782	V	10,6	Spherical			
R-19	VL	P	-0,3	259,9	0,497	0,779	V	17,2	Spherical			
R-19	VL	P	-0,6	324,1	0,993	0,647	V	16,2	Elongate			
R-19	LV	P	-24	-2,1	189,2	3,438	0,905	L	30,8	Spherical		
R-17	LV	P	-21	-0,6	216,1	0,993	0,853	L	9,0,1	Elongate	4120	4172
R-17	LV	P	-20	-0,3	211,8	0,497	0,855	L	92,8	Elongate		
R-17	LV	P	-1,1	200,3	1,116	0,881	L	10,9	Irregular			
R-17	LV	P	-1,6	20,2,5	2,632	0,886	L	15,2	Spherical			
R-17	LV	P	-0,8	192,6	1,322	0,886	L	9,8	Spherical			
R-17	LV	P	-23	-2,1	238,6	3,438	0,846	L	45	Oval		
R-17	LV	P	-25	-1,8	239,7	2,956	0,84	L	15,5	Spherical		
R-17	LV	P	-21	-1,5	20,8,8	2,469	0,877	L	13,5	Irregular		
R-17	LV	P	-1,3	160,5	2,143	0,917	L	21,7	Elongate			
R-17	LV	P	-1,9	20,9,8	3,117	0,881	L	11,7	Elongate			
R-17	LV	P	-24	-2,1	214,3	3,438	0,878	L	43	Spherical		
R-17	LV	P	-22	-1,5	255,6	2,469	0,809	L	27,9	Irregular		
R-17	LV	P	-1,2	193,9	1,976	0,89	L	8,8	Irregular			
R-17	LV	P	-22	-1,9	20,6,6	3,117	0,885	L	20,2	Elongate		
R-17	LV	P	-23	-2,3	241,4	3,757	0,845	L	20	Elongate		
R-17	LV	P	-21	-2	252,3	3,278	0,873	L	12,1	Spherical		
R-17	LV	P	-1,6	176,2	2,632	0,913	L	9,6	Spherical			
R-17	LV	P	-0,9	248,1	1,487	0,809	L	13	Spherical			
R-17	LV	P	-22	-0,5	232,7	0,827	0,828	L	9,2	Spherical		
R-17	LV	P	-0,3	228,1	0,497	0,83	L	11,9	Spherical			
R-17	LV	P	-21	-0,9	269,5	1,487	0,773	L	13,9	Irregular		
H7-D66	LV	P	-22	-1,8	20,9,1	2,956	0,88	L	16,5	Irregular	812	389
H7-D66	LV	P	-21	-1,3	21,0,6	2,143	0,871	L	20	Elongate		
H7-D66	LV	P	-0,4	225,4	0,662	0,877	L	13,1	Spherical			
H7-D66	LV	P	-0,1	221,2	0,166	0,878	L	10,6	NC			
H7-D66	LV	P	-22	-1	30,2,3	1,651	0,709	L	10,3	Oval		
H7-D66	LV	P	-0,9	236,8	1,487	0,879	L	7,5	Elongate			
H7-D66	LV	P	-1,9	-0,5	229,7	0,827	0,872	L	18,5	Irregular		
H7-D66	LV	P	-21	-0,7	226,6	1,158	0,84	L	12,2	Spherical		
H7-D66	LV	P	-24	-2,1	189,9	3,438	0,905	L	10	Elongate		
H7-D66	LV	P	-1,1	220,1	1,816	0,855	L	8,8	Elongate			
H7-D66	LV	P	-1,7	231,6	2,794	0,849	L	10,6	NC			

ادامه جدول ۳ نتایج بررسی میانبارهای سیال در هیزه‌جان-مزرعه شادی

Sample	Type	Origin	Tfm (°C)	Tlm, ice (°C)	Th (°C)	Salinity Wt. %	Density g/cm³	Phase transition	Size (µm)	Shape	Au (ppb)	Zn+ Pb (ppm)
H7-D66	LV	P	-۲۶	-۳/۱	۲۴۲/۳	۵/۰۱۲	۰.۸۵۵	L	۲۱/۸	Elongate	۸۱۳	۳۸۹
H7-D66	LV	P	-۲۱	-۱/۶	۲۱۲/۵	۲۶۳۲	۰.۸۷۳	L	۱۰/۷	Oval		
H7-D66	LV	P	-۲۹	-۳/۲	۲۲۲/۶	۵/۱۶۶	۰.۸۸۳	L	۱۲	Spherical		
H7-D66	LV	P		-۲/۹	۲۱۵/۱	۴/۷۰۲	۰.۸۸۸	L	۱۳/۵	Elongate		
H7-D66	LV	P		-۱/۸	۲۲۰/۶	۲/۹۵۶	۰.۸۶۶	L	۸/۲	Spherical		
H7-D66	LV	P	-۲۷	-۲/۵	۲۶۵	۴/۰۷۴	۰.۸۱۲	L	۱۵/۸	Spherical		
H7-D66	LV	P		-۱/۱	۲۲۳/۱	۱/۸۱۶	۰.۸۳۷	L	۷/۱	Spherical		
H7-D66	LV	P	-۲۴	-۱/۲	۲۰/۱۹	۱/۹۷۹	۰.۸۸۱	L	۱۰/۶	Elongate		
H7-D61	LV	P		-۱/۴	۲۲۳/۹	۲/۳۰۶	۰.۸۴۲	L	۸/۵	Spherical		
H7-D61	LV	P		-۰/۵	۲۵۲/۷	۰.۸۲۷	۰.۷۹۵	L	۷/۱	Spherical		
H7-D61	LV	P		-۱/۹	۲۲۴/۵	۳/۱۱۷	۰.۸۶۲	L	۹/۷	Oval		
H7-D61	LV	P	-۲۱	-۰/۲	۲۴۴/۸	۰.۳۳۱	۰.۸۰۳	L	۱۳/۳	Elongate	۳۱۴	۵۸۹
H7-D61	LV	P		-۰/۷	۲۱۰/۴	۱/۱۵۸	۰.۸۶۳	L	۶/۲	Rectangular		
H7-D61	LV	P		-۱	۲۱۸/۱	۱/۶۵۱	۰.۸۵۶	L	۵/۸	Spherical		
H7-D61	LV	P	-۲۰	-۰/۲	۲۲۴/۲	۰/۳۳۱	۰.۸۱۹	L	۸/۶	Elongate		
H7-D61	LV	P	-۲۱	-۰/۴	۱۹۶/۱	۰.۶۶۲	۰.۷۷۷	L	۱۲/۷	Elongate		
H7-D61	LV	P		-۰/۴	۲۱۲/۳	۰.۶۶۲	۰.۸۵۴	L	۶/۴	Irregular		
H7-D61	LV	P		-۱/۷	۱۷۶/۷	۲/۷۹۴	۰.۹۱۵	L	۱۱/۲	Irregular		
H7-D61	LV	P	-۲۴	۲/۲	۲۱۶	۳/۵۹۸	۰.۷۷۷	L	۱۴/۵	Spherical		
H7-D61	LV	P		-۱/۴	۲۲۱/۳	۲/۳۰۶	۰.۸۵۸	L	۶/۶	Elongate		
H7-D61	LV	P	-۱۹	-۱/۳	۲۰/۶۲	۲/۱۴۳	۰.۸۵۷	L	۶/۱	Oval		
H7-D61	LV	P		-۰/۴	۲۱۹/۳	۰.۶۶۲	۰.۸۴۵	L	۶/۶	Irregular		
H7-D61	LV	P		-۰/۹	۲۰/۲۷	۱/۴۸۷	۰.۷۷۶	L	۹/۷	Spherical	۵۲	۱۴۷۴
H7-D61	LV	P	-۱/۵	۲۵۰/۹	۲/۴۶۹	۰.۸۱۷	L	۶/۱	Spherical			
H7-D61	LV	P	-۲۰	-۰/۹	۲۱۹/۱	۱/۴۸۷	۰.۸۵۳	L	۱۲/۱	Irregular		
H7-D61	LV	P	-۲۲	۲۳۰/۴	۳/۵۹۸	۰.۸۰۹	L	۶/۶	Irregular			
H7-D61	LV	P	-۱/۳	۲۱۸/۵	۲/۱۴۳	۰.۸۶۱	L	۶/۴	Irregular			
H7-D155	LV	P	-۲۵	-۱/۷	۲۲۳/۷	۲/۷۹۴	۰.۸۴۷	L	۱۰/۱	Irregular		
H7-D155	LV	P	-۱۹	-۰/۵	۲۱۹/۳	۰.۸۲۷	۰.۸۴۷	L	۸	Oval		
H7-D155	LV	P	-۱/۵	۲۲۵/۵	۲/۴۶۹	۰.۸۵۵	L	۷/۸	Oval			
H7-D155	LV	P		-۰/۶	۲۵۹/۵	۰.۹۹۳	۰.۷۸۵	L	۸/۵	Spherical		
H7-D155	LV	P		-۰/۵	۲۴۰/۲	۰.۸۲۷	۰.۸۱۵	L	۷/۴	Spherical		
H7-D155	LV	P	-۲۱	-۰/۳	۲۵۷/۵	۰.۴۹۷	۰.۷۸۲	L	۵/۵	Spherical	۵۲	۱۴۷۴
H7-D155	LV	P		-۰/۴	۲۸۰/۷	۰.۶۶۲	۰.۷۴	L	۷/۹	Oval		
H7-D155	LV	P	-۲۲	-۰/۵	۲۴۱/۶	۰.۸۲۷	۰.۸۱۳	L	۴/۹	Elongate		
H7-D155	LV	P		-۰/۹	۲۶۰/۳	۱/۴۸۷	۰.۷۸۹	L	۸/۷	Spherical		
H7-D155	LV	P	-۲۲	-۱/۲	۲۱۸/۸	۱/۹۷۹	۰.۸۵۹	L	۸/۸	Elongate		
H8-D65	LV	P		-۰/۶	۲۲۹/۳	۰.۹۹۳	۰.۸۳۴	L	۱۴/۲	Spherical	۷۰	۳۶۸
H8-D65	LV	P		-۰/۸	۲۶۱/۶	۱/۳۲۲	۰.۷۸۵	L	۶/۶	Irregular		
H8-D65	LV	P	-۱/۱	۲۴۹/۱	۱/۸۱۶	۰.۸۱۲	۰.۸۱۲	L	۵/۳	Spherical		
H8-D65	LV	P	-۰/۵	۱۹۵/۵	۰.۸۲۷	۰.۸۷۹	L	۲۹/۱	Spherical			
H8-D65	LV	P	-۰/۴	۲۶۷/۹	۰.۸۶۲	۰.۷۶۶	L	۳۷	Oval			
H8-D65	LV	P	-۰/۱	۲۰/۱/۱	۰/۱۶۶	۰.۸۵۶	L	۱۲/۸	Elongate			
H8-D65	LV	P	-۰/۴	۲۵۱/۶	۰.۸۶۲	۰.۷۹۵	L	۱۳/۸	Spherical			
H8-D65	LV	P	-۰/۳	۲۳۲/۴	۰.۴۹۷	۰.۸۲۴	L	۷/۹	Oval			
H8-D65	LV	P	-۰/۵	۲۰/۴/۴	۰.۸۲۷	۰.۸۶	L	۱۰/۱	Elongate			
H8-D65	LV	P	-۰/۹	۲۲۰/۵	۱/۴۸۷	۰.۸۵۲	L	۱۶/۴	Elongate			
H8-D65	LV	P	-۱/۴	۲۵۲/۲	۲۳۰/۶	۰.۸۱۲	L	۶/۹	Irregular	۷۰	۳۶۸	
H8-D65	LV	P	-۱/۷	۲۱۷/۷	۲/۷۹۴	۰.۸۶۸	L	۸/۲	Elongate			
H8-D65	LV	P	-۰/۷	۱۹۳/۸	۱/۱۵۸	۰.۸۸۴	L	۸/۷	Elongate			
H8-D65	LV	P	-۰/۲	۱۹۹/۶	۰.۳۳۱	۰.۸۷	L	۱۱/۳	Elongate			
H8-D65	LV	P	-۱/۵	۲۳۹/۴	۲/۴۶۹	۰.۸۳۴	L	۲۴/۸	Spherical			
AVRAGE			-۲۲	-۱/۱	۲۲۷/۹	۱/۹۴	۰.۸۴				۱۴/۴	
MAX			-۱۹	۲/۲	۲۲۴/۱	۵/۱۷	۰.۹۳				۹۲/۸	
MIN			-۲۹	-۳/۲	۱۶۰/۵	۰/۱۷	۰.۶۵				۴/۳	



شکل ۶ نمودار ستونی (الف) درصد فراوانی چگالی (ب) دمای همگن شدگی (پ) شوری (ت) ذوب نهایی (یخ و چ) اندازه میانبارهای سیال در مزرعه شادی

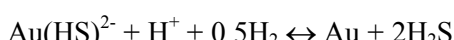
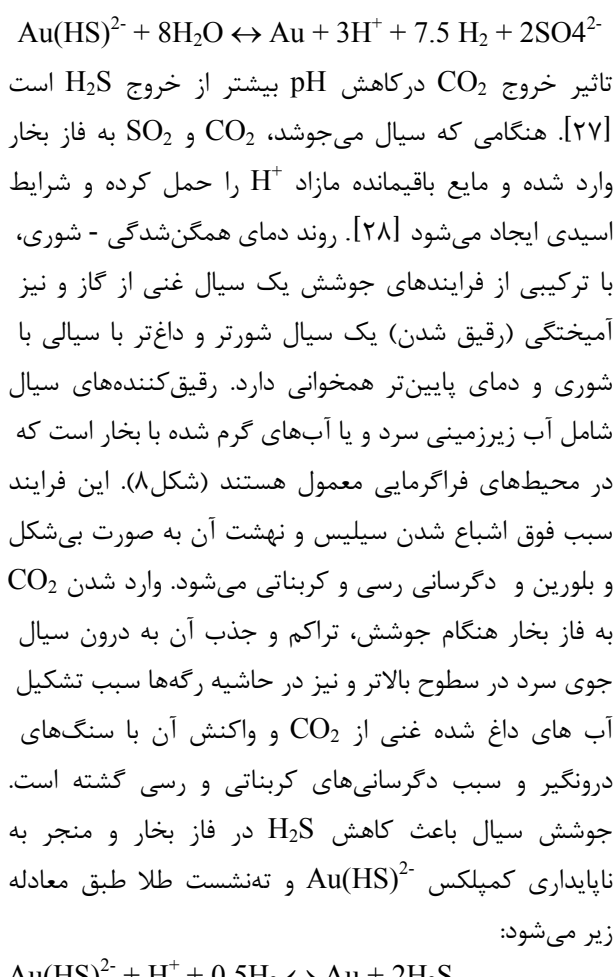
$\text{Fe}^{2+} + 2\text{Au}(\text{HS})^{2-} = 2\text{Au}(\text{s}) + \text{FeS}_2(\text{s}) + 2\text{H}^+ + 2\text{HS}^-$

بیشتر محلول‌های گرمایی اشباع از طلا نیستند و با تغییرات فیزیکی محیطی و شیمیایی از طلا اشباع می‌شوند. جوشش، رسوب پیریت، تغییر کوارتز به سیلیکاً بی‌شکل و تغییر pH و فعالیت سولفور همگی به رسوب طلا منجر می‌شوند. سازوکار حمل نقره به خوبی شناخته شده نیست، با این حال اگر به صورت کمپلکس بی‌سولفیدی حمل شود جوشش باعث رسوب آن خواهد شد، ولی اگر به صورت کلریدی حمل شده باشد جوشش تاثیر چندانی در رسوب آن نخواهد داشت. آزمایش‌ها نشان داده است که حل شدن نقره در محلول‌های کلریددار در دمای ۳۵۰ تا ۵۰۰ درجه سانتی‌گراد که بالاتر از سیستم‌های فراگرمایی است با افزایش pH کاهش می‌یابد و این نشان‌دهنده تغییر از حمل با کمپلکس‌های کلریدی در محلول‌های اسیدی به حمل با کمپلکس‌های سولفور در محلول‌های بازی و خنثی است پس اگر نقره با کمپلکس‌های سولفوری حمل شده باشد، تغییر در خواص محلول‌های گرمایی، مانند pH یا جوشش

بحث و بررسی

داده‌های دماسنجی میکروسکوپیکی (ریزدماسنجی) نشان‌دهنده وجود سیالی با شوری پایین (۰/۱۷ تا ۰/۵) درصد وزنی معادل NaCl است. کانی‌شناسی کانسنگ و محتوای فلزی این امر تأیید‌کننده آن بوده و چنین سیالی شاخص بیشتر کانسارهای فراگرمایی فلزات گرانبهاست [۱۷، ۱۸]. پیریت کانی فلزی غالب و طلا ماده معدنی اصلی در محدوده طلای مزرعه شادی بوده و فلزات پایه کمیاب هستند. ویژگی تک فلزی - تک کانیایی کانسنگ نشان‌دهنده غلظت کمتر گوگرد کاهیده در محلول کانه‌زا یا کمتر بودن مقدار آن از مقدار کل فلز بوده است [۱۹]. در بیشتر ذخایر فراگرمایی، پیریت یا اکسید آهن حضور دارد و آدولاریا به عنوان باطله دیده می‌شود [۲۰]. آهن موجود در آب‌های جوی فرورو و آمیختگی آنها با محلول‌های گرمایی باعث رسوب پیریت شده است و رسوب پیریت به علت جدا کردن لیگاند سولفور که حمل کننده طلا بوده است باعث تهذیب طلا طبق معادله زیر می‌شود [۲۰]:

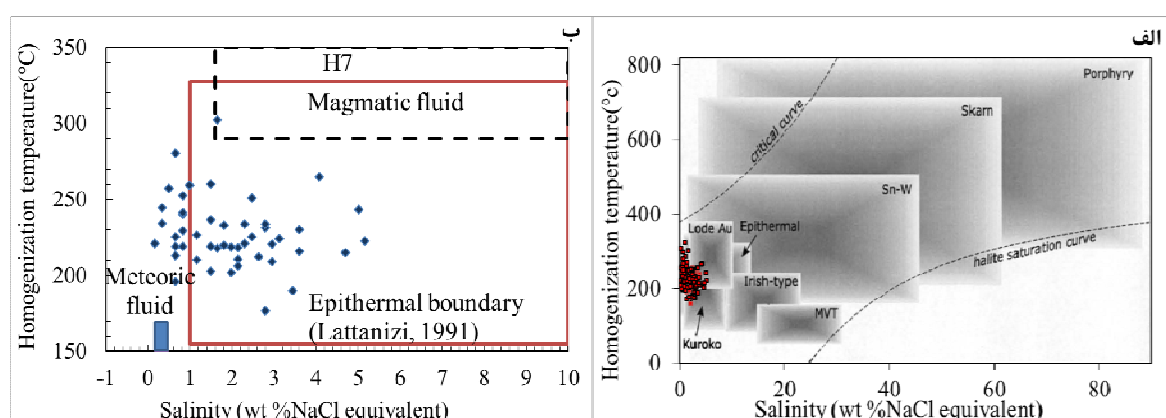
در کوارتز و همچنین در پیریت، در نتیجه فرایندهای جوشش، واکنش سیال با سنگ و آمیختگی سیال‌ها صورت گرفته است. آمیختگی آب جوی اکسیدی با سیال کانه‌دار نیز در تهنشست طلا طبق معادله زیر موثر بوده است:



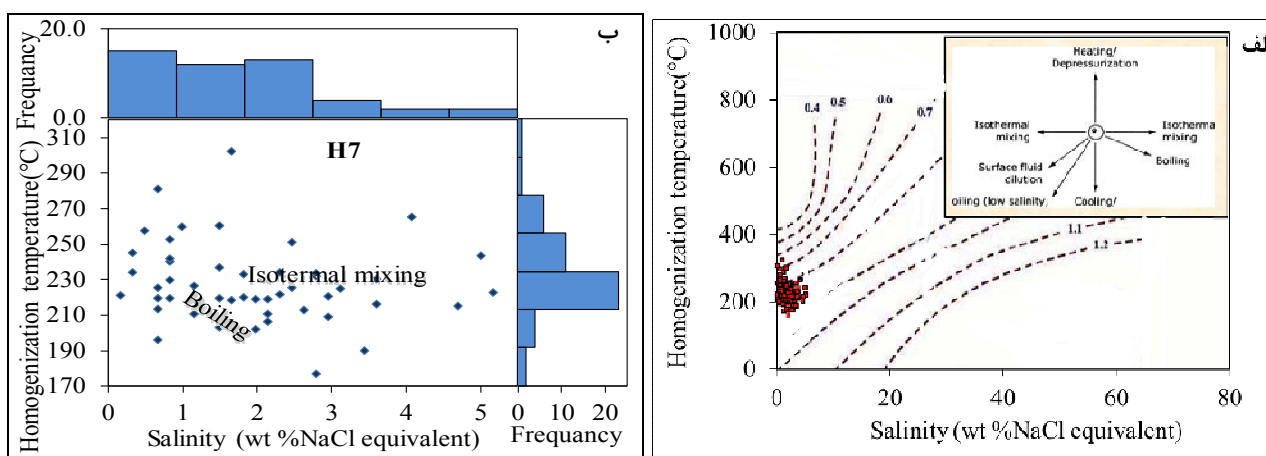
منجر به تهشینی نقره خواهد شد [۲۱]. با توجه به شکل‌های ۷الف-ب، میانبارهای سیال مزرعه شادی در محدوده فراگرمایی و در بین سیالات ماقمایی و جوی قرار می‌گیرند. مقدار پایین فلز، با شوری پایین سیال گرمایی سازگار است، چرا که برای انتقال مقادیر بالایی از فلزهای پایه، به مقدار زیادی کلرید برای تشکیل کمپلکس نیاز است [۱۹]. عامل دیگر در کانی‌زایی آمیختگی محلول‌های گرمایی با آب‌های جوی است و وجود چشممه‌های تقریباً اسیدی در منطقه شاهدی بر آب‌های جوی تقریباً اسیدی است که در تماس با محلول‌های فراگرمایی باعث کاهش غلظت گونه‌های سولفیدی و کاهش pH محلول‌ها شده‌اند. عامل اکسایش نیز با توجه به کاهش غلظت گونه‌های سولفیدی حل شده در محلول و نیز کاهش pH نقش مشابهی در رسوب مس و عناصر طلا و نقره طبق معادله زیر داشته است:



با توجه به وجود کوارتزهای حفره‌ای و دگرسانی رسی در اطراف رگه‌ها می‌توان گفت که عوامل تهشینی کانی‌ها شامل آنهایی هستند که در کاهش pH نقش داشته‌اند، چرا که کاهش pH از یک طرف باعث کاهش حلایت سیلیس و از طرف دیگر باعث ایجاد دگرسانی رسی شده است. وجود کوارتز حفره‌ای نشان-دهنده اسیدیته بالای سیال گرمایی است [۲۶]. شوری کم سیال، و کانی‌شناسی کانسنگ و دگرسانی پیشنهاد می‌کند که کمپلکس $\text{Au}(\text{HS})^{2-}$ مسؤول انتقال طلا در رگه‌های طلدار مزرعه شادی بوده است. نهشت طلا به صورت ذرات طلای آزاد



شکل ۷ (الف) موقعیت نمونه‌های مزرعه‌شادی در نمودار شوری نسبت به دمای همگن‌شدنگی [۲۲] (ب) نمودار شوری نسبت به دمای همگن‌شدنگی در گمانه H₇ بر اساس نتایج مراجع [۲۳-۲۵].



شکل ۸ (الف) نمودار شوری نسبت به دمای همگن شدگی در [۲۹] ب) نمودار شوری نسبت به دمای همگن شدگی در گمانه H₇ [۲۲].

تشکیل رگه باشد و در نتیجه نیازی به تصحیح فشار نیست (شکل ۱۰ الف). عمق تشکیل رگه‌های کوارتز نسبت به سطح ایستابی دیرینه به کمک منحنی‌های جوشش [۳۱] و نیز دمای همگن شدگی میانبارهای سیال با فرض اینکه جوشش در زمان تشکیل رگه‌ها اتفاق افتاده است تعیین شد. با استفاده از نمودار شکل ۱۰ ب مشخص می‌شود که دو جمعیت متفاوت میانبارهای سیال در منطقه مزرعه شادی وجود دارد. با توجه به شکل ۱۱ الف، تشکیل کوارتز در عمق بین ۳۸۰ تا ۲۳۰ متر زیرسطح ایستابی دیرینه رخ داده است. عمق تشکیل رگه‌های کوارتز در (شکل ۱۱ ب) به تفکیک آورده شده است. البته برآورد دقیق عمق تشکیل رگه‌ها با تعیین غلظت گازهای موجود در میانبارهای سیال ممکن است [۳۲]. این داده‌ها روندی از سیال‌های با شوری پایین و دمای بالاتر، با چیرگی نهشت سرب و روی، به سیال‌های با شوری بالاتر و دمای پایین‌تر، با چیرگی نهشت طلا را نشان می‌دهند (شکل ۱۱ الف). روند نمودارهای سه بعدی شوری - دمای همگن شدگی مقدار طلا و سرب - روی در میانبارها نشان‌دهنده نهشت سرب - روی از سیالات با شوری پایین‌تر و دمای بیشتر در عمق بیشتر به سمت نهشت طلا از سیالات با شوری بیشتر در دما و عمق کمتر است (شکل‌های ۱۲ الف و ب). در صورت انتقال فلز با کمپلکس‌های فلز - سولفید مجموعه زیر تهنشست با مجموعه تهنشست امونز همخوانی دارند:

Fe- Ni- Sn- Cu- Pb- Ag- Au- Sb- Hg

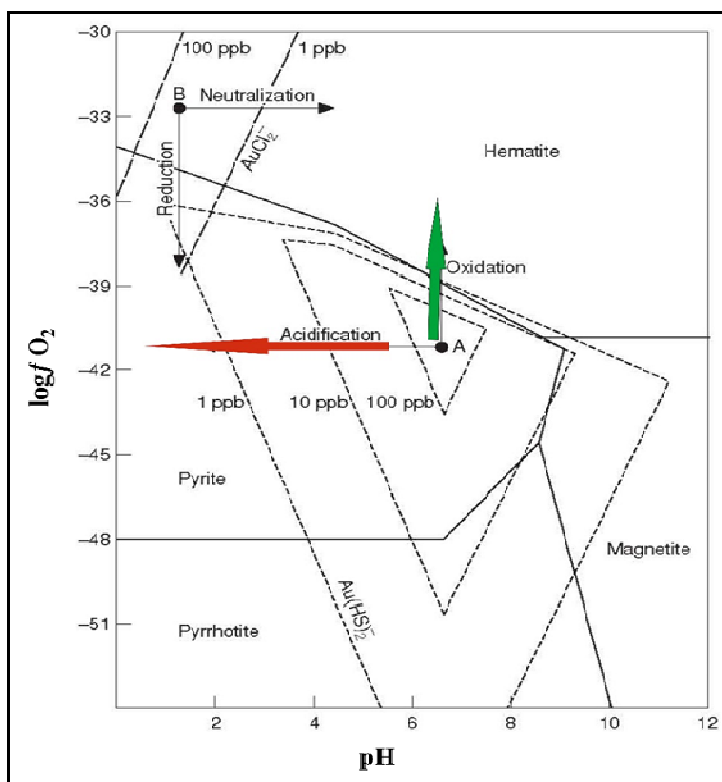
کانی‌های دگرسانی تشکیل شده با این نوع سیال فقیر از طلا هستند و در رگه‌های سیلیسی نیز این روند به صورت کاهش نزولی مقدار طلا از رگه‌ها به سمت حاشیه دگرسانی رسی مشخص است. عواملی که باعث تنهشت کمپلکس‌های فلزی - سولفیدی می‌شوند متفاوت از تهنشست فلزات از کمپلکس‌های کلریدی بوده و در مورد روی آمیختگی سیال یا رقیق شدن و کاهش دما باعث افزایش تهنشست فلز شده است. این عمل همان اکسایش سیال کانه‌دار است که اثر ویژه‌ای در کاهش حلایت کمپلکس‌های فلز - سولفید دارد. اکسایش (یا از دست دادن الکترون) موجب کاهش pH و همچنین تمرکز کلی سولفید می‌شود و به موجب آن تهنشست فلز طبق معادله زیر تشدید می‌شود:



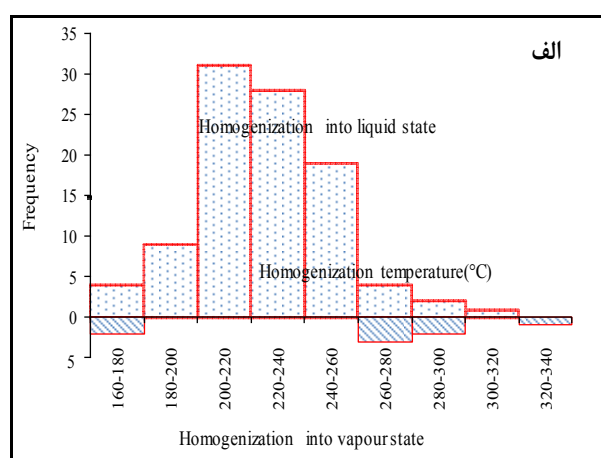
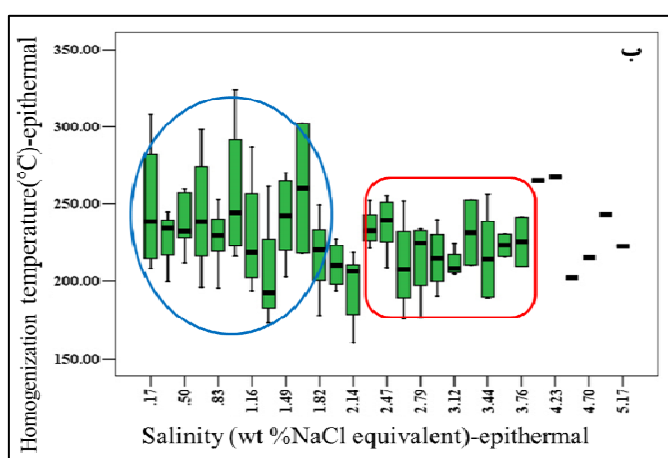
این روند سازگار با کاهش دما در طول زمان و مسیر است. تغییرات شدیدی در دمای همگن شدگی می‌تواند نشان‌دهنده تغییر شرایط گرمایی طی تشکیل رگه و یا به دام افتادن فازهای مایع و بخار با نسبت‌های متفاوت باشد. ارتباط مستقیم بین نهشت طلا و جوشش در بیشتر رگه‌های طلا در محدوده طلای مزرعه‌شادی مشخص است. پس به طور کلی می‌توان روند تکاملی شکل ۹ را برای منطقه در نظر گرفت. رخداد جوشش به وسیله همزیستی فاز غنی از بخار و فاز غنی از مایع در میانبارهای سیال تأیید می‌شود. این شواهد نشان می‌دهند که مقادیر دمای Th اندازه‌گیری شده می‌توانند نشان‌دهنده دمای

شادی، حمل طلا-نقره و فلزات پایه با کمپلکس‌های فلز-سولفید را تایید می‌کنند. مقدار عناصر سرب، روی و طلا در میانبارها در عمق مختلف در جدول ۳ آورده شده است.

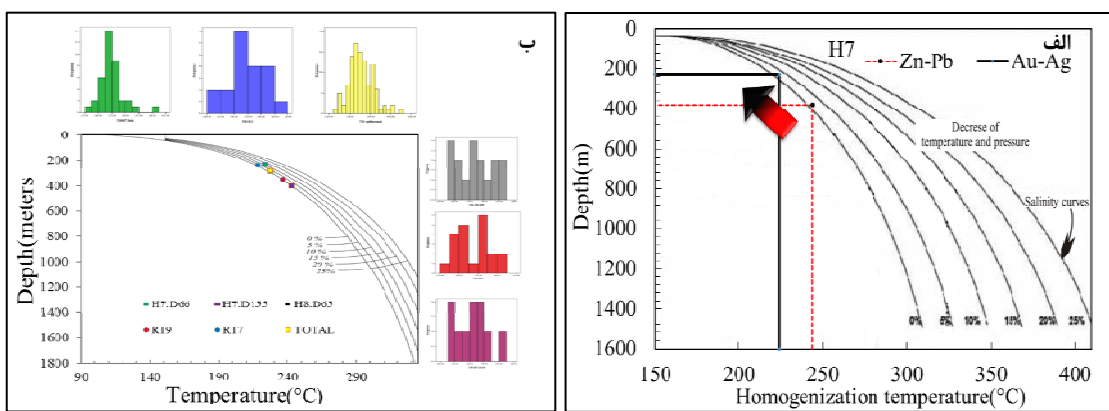
در صورت انتقال فلز با کمپلکس‌های فلز-کلرید، مجموعه بالا کوتاهتر و با دنباله زیر خواهد بود [۳۳]: Cu-Ag-Pb-Zn مشاهدات و دمای تشکیل کانه‌ها و پهنه‌بندی در منطقه مزرعه



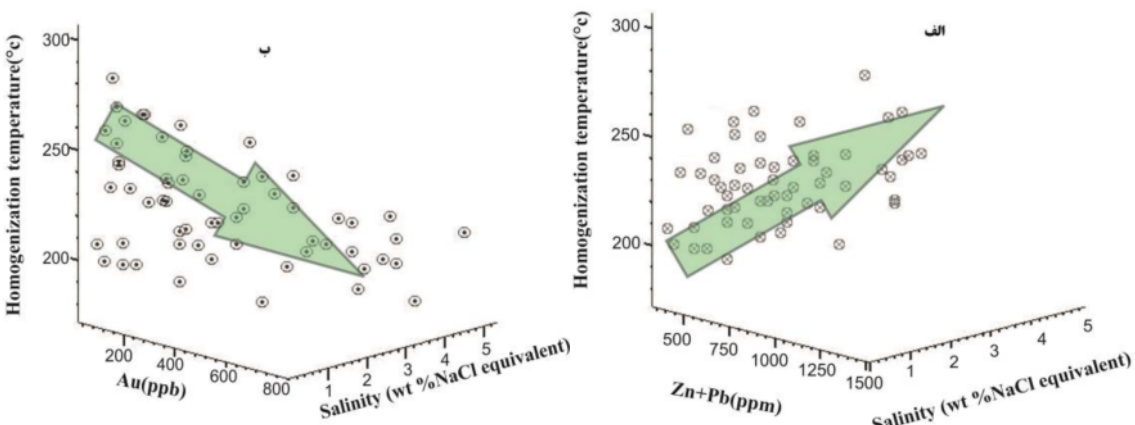
شکل ۹ نمودار $\log f\text{O}_2$ -PH که نشان دهنده پایداری اکسید آهن و کانی‌های سولفیدی در ارتباط با پایداری طلا برای کمپلکس‌های $\text{Au}(\text{HS})^{2-}$ و AuCl^{2-} در سیال است. اکسایش سیال A (پیکان سبز) و یا اسیدی شدن (پیکان قرمز) آن باعث کاهش پایداری کمپلکس $\text{Au}(\text{HS})^{2-}$ و احتمالاً باعث تهنشست طلا می‌شود. بر عکس برای کمپلکس AuCl^{2-} در سیال B، تهنشست طلا در پاسخ به افزایش PH یا احیا شدن رخ می‌دهد نمودار فازی و منحنی‌ها برگرفته از مرجع [۳۰] هستند. روند تکامل سیالات کانی‌ساز در مزرعه‌شادی با پیکان‌های سبز و قرمز نشان داده شده است.



شکل ۱۰ (الف) نمودار ستونی دمای همگن‌شدنی به فاز مایع و بخار (ب) : نمودار ستونی فراوانی دمای همگن‌شدنی - شوری همراه با چارک و میانه در کل میانبارهای سیال که نشان‌دهنده دو جمعیت متفاوت در میانبارهای سیال است.



شکل ۱۱ عمق به دام افتادن سیالات درگیر در مزرعه‌شادی الف) در مناطق نهشت سرب-روی و طلا-نقره. (قسمت قرمز پیکان نشان‌دهنده نهشت سرب و روی و قسمت سیاه آن نشان‌دهنده نهشت طلا است) ب) در همه مقاطع به تفکیک در گمانه‌های ۷ و ۸ و در نمونه‌های سطحی [۳۱].



شکل ۱۲ نمودار سه بعدی شوری نسبت به دمای همگن‌شدگی همراه با مقدارهای الف) سرب و روی ب) طلا.

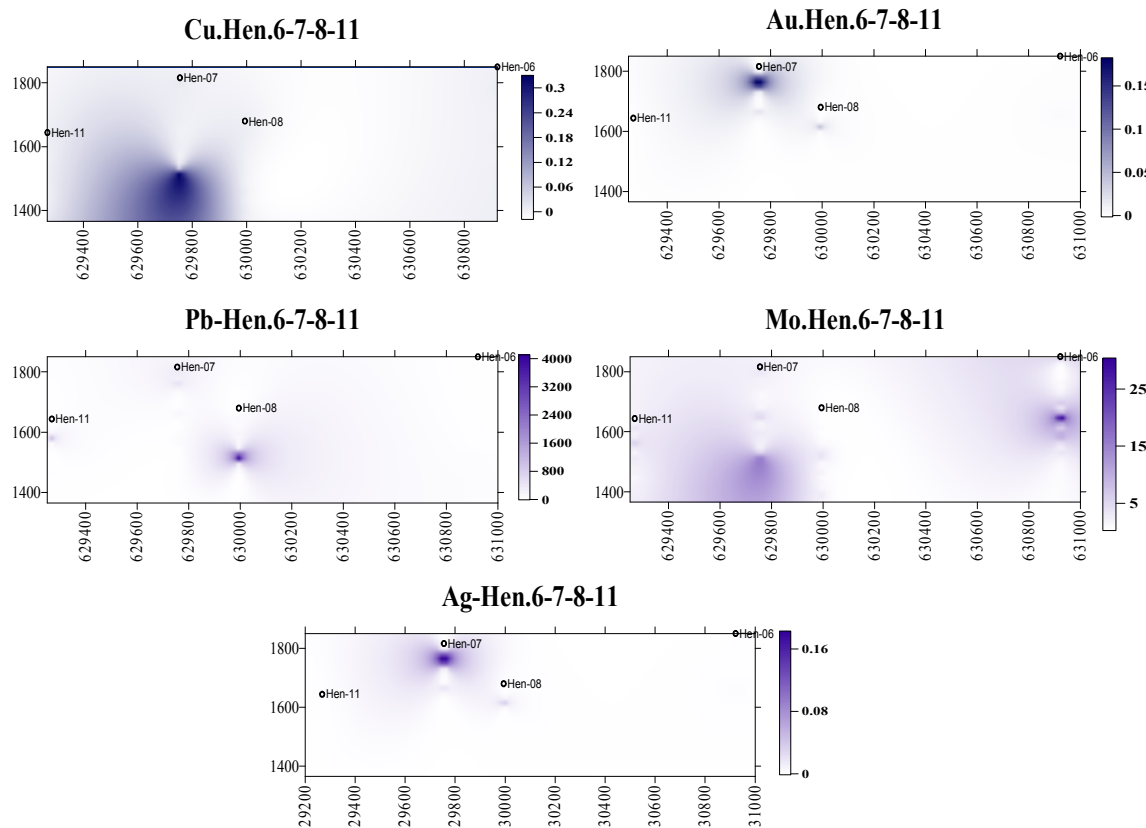
کانسارهای فراگرمایی سولفیدی شدن متوسط نوع فلزهای گرانبهاست [۳۹،۳۸،۲۸]. برای تعیین فشار از نمودار مرجع [۱۶] استفاده شد و فشار حاکم در طی تشکیل سیالات کمتر از ۱۰۰ بار بدست آمد (شکل ۱۴ الف). به دلیل شوری و دمای همگن‌شدگی کمتر سیالات در مزرعه‌شادی مقدار مس در این کانسار کمتر از مس پورفیری سونگون است (شکل ۱۴ ب).

براساس بررسی‌های کانی‌شناسی و روابط بافتی سه مرحله در دنباله کنارزایی قابل تشخیص است (شکل ۱۵). در مرحله پیش از کانی‌سازی اصلی کوارتز همراه با پیریت (با بافت پرکننده حفره‌ها و درزه‌ها) تشکیل شده است. مقداری متفاوتی مگنتیت و کوولیت به صورت اولیه در این مرحله تشکیل شده است. در مرحله اصلی کانی‌سازی کوارتز به همراه کانی‌های فلزی شامل پیریت، کالکوپیریت، گالن، اسفالریت و طلا تشکیل شده است و مهمترین بافت‌های مشاهده شده در کانی‌ها بافت

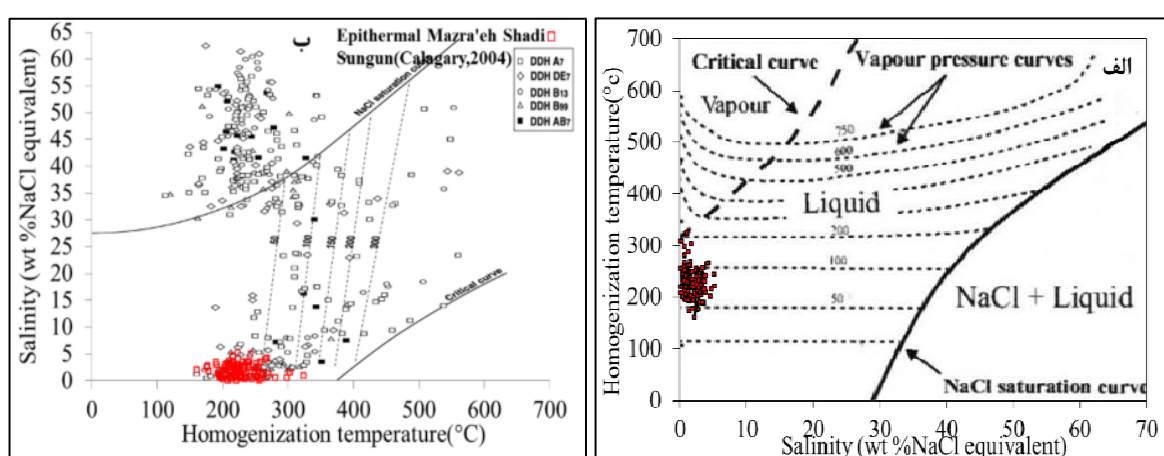
در گمانه‌های ۱۱-۸-۷-۶ کانی‌سازی فراگرمایی فلزات پایه مانند مس، سرب، روی و مولیبден در عمق‌های پایین‌تر و فلزات گرانبهای در عمق‌های کمتر دیده می‌شوند (شکل ۱۳). محور افقی این نمودارها مشخص‌کننده طول جغرافیایی و محور عمودی کد ارتفاعی گمانه‌ها را نشان می‌دهد این پهنه‌بندی به دلیل جوشش در سیستم‌های فراگرمایی است [۳۵،۳۴]. وجود گستره وسیعی برای عمق تشکیل رگه‌های کوارتز ممکن است بازتاب تغییر شرایط گرمایی در اثر مسدود شدن مجرای عبور سیال و تغییر فشارهای ایستابی به لیتوستاتیک ناشی از آن بوده یا به تغییر در عمق سطح ایستابی دیرینه مربوط باشد [۳۷،۳۶،۳۰،۱۷]. بافت و ساخت رگه‌ها، کانی‌شناسی کانسنگ (فراوانی پیریت و نبود سولفیدهای فلزات پایه)، شوری، دمای همگن‌شدگی پایین سیال گرمایی، مجموعه کانی‌های دگرسانی و سنگ میزان ماقمایی دیرینه‌زا بیانگر کانه‌زایی از نوع

هماتیت و گوتیت تشکیل شده است و سایر هیدروکسیدهای آهن بر اثر دگرسانی برونزاد پیریت و کالکوپیریت پدید آمده‌اند که این مرحله فاقد کانی‌سازی است.

پرکننده فضای خالی، بافت همرشدی، بافت پراکنده، بافت میانبار و بافتهای شکل‌دار، نیمه‌شکل‌دار و بی‌شکل است. کانی طلا به صورت پراکنده در کوارتز مشاهده می‌شود. در مرحله پس از کانی‌سازی اصلی کوارتز پیریت در مقادیر کم به همراه

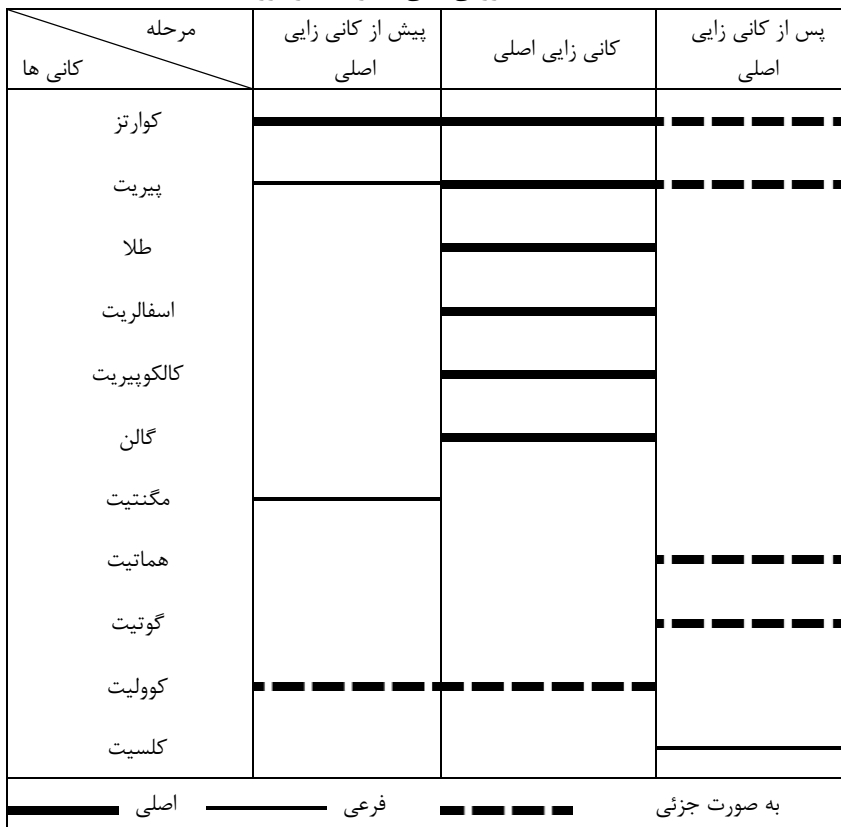


شکل ۱۳ نمایش میزان فراوانی عناصر در گمانه‌های اکتشافی در کانی‌سازی رگه‌ای سیلیسی فراگرمایی



شکل ۱۴ نمودار توزیع شوری نسبت به دمای همگن شدگی (الف) توزیع میانبارهای سیال در مزرعه‌شادی [۴۰] ب مقایسه توزیع فراوانی میانبارهای سیال مزرعه‌شادی با کانسار مس پورفیری سونگون [۴۱] منحنی‌های روی نمودار برگرفته از [۴۲] و خطوط منقطع نشانده شار بخار محلول از برگرفته از مرجع [۱۶] هستند.

شکل ۱۵ دنباله کنارزایی کانی‌ها در کانسار مزرعه‌شادی.



در عمق بیشتر به سمت نهشت طلا از سیالات با شوری بیشتر و دمای کمتر در عمق کمتر است. تنهشت طلا با عوامل رسوب پیریت، آمیختگی محلول‌های گرمایی با آب‌های جوی، اکسایش، کاهش pH، کاهش فشار، جوشش و آمیختگی سیال-ها صورت گرفته است و با توجه به نقش این عوامل و بیشتر جوشش، کانی‌سازی فراگرمایی فلزات پایه مانند مس، سرب، روی و مولیبدن در عمق‌های پایین‌تر و فلزات گرانابهها در عمق‌های کمتر دیده می‌شوند. به احتمال به دلیل شوری کمتر و دمای همگن‌شدگی کمتر سیالات در مزرعه شادی مقدار مس در این کانسار کمتر از مس پورفیری سونگون است.

مراجع

- [1] Riou R., Dupuy C., Dostal J., "Geochemistry of coexisting alkaline and calc-alkaline volcanic rocks from northern Azerbaijan (N.W.Iran)", Journal of Volcanology and Geothermal Research, V. 11 (1981) 253-275.

برداشت

توده نفوذی کالجان مرکز فعالیت ماقمایی میزبان کانی‌سازی در منطقه است و سایر توده‌ها و دایک‌ها در حقیقت شاخه‌هایی منشعب از این توده هستند. مهمترین سیمای کانی‌سازی در منطقه مزرعه شادی-هیزه‌جان، پهنه‌های کانی‌سازی رگه‌ای-رگچه‌ای است که توسط گسل‌ها و پهنه‌های گسلی کنترل شده است. بیهنجاری طلا در رگه‌های سیلیسی طلدار با سنگ میزبان آندزیت دیده می‌شود. میانبارهای سیال مزرعه‌شادی در محدوده فراگرمایی و در بین سیالات ماقمایی و جوی قرار می‌گیرند. پیریت کانی فلزی غالب و طلا ماده معدنی اصلی در محدوده طلای مزرعه‌شادی بوده و فلزات پایه کمیاب هستند. تشکیل کوارتز در عمق بین ۳۸۰ تا ۲۳۰ متر زیرسطح ایستابی دیرینه رخ داده است. روند نمودارهای سه بعدی شوری-دمای همگن‌شدگی مقدار طلا و سرب-روی در میانبارها نشان‌دهنده نهشت سرب-روی از سیالات با شوری پایین‌تر و دمای بیشتر

- geochemistry", Geochimica et Cosmochimica Acta V. 48 (1984) 2659-2668.*
- [11] Bakker RJ., "Optimal Interpretation of Microthermometrical Data from Fluid Inclusion; Thermodynamic Modelling and Computer Programming, University Heidelberg", Germany (1999) pp.54.
- [12] Bakker RJ., "Clathrates: Computer programs to calculate fluid inclusion V-X properties using clathrate melting temperatures", Computers & Geosciences, V. 23 (1997) 1-18.
- [13] Brown P.E., "Flincor: a microcomputer program for the reduction and investigation of fluid-inclusion data", Ameracan Mineralogist, 74 (1989) 1390–1393.
- [14] Rassi R., Afzal P., "Correlation between Au Lithogeochemical Anomalies and Fault-density using Geostatistical and Fractal Modeling in Sharafabad-Hizehjan Area, NW Iran", Universal Journal of Geoscience 3(2) (2015) 51-58.
- [۱۵] پورنیک پ.، "گزارش اکتشافات تفصیلی طلا در محدوده اکتشافی شرفآباد- هیزه‌جان، کانی‌سازی مزرعه شادی"، سازمان زمین‌شناسی و اکتشافات معدنی کشور، ۲۶۴ (۱۳۸۵).
- صفحه .
- [16] Roedder E., "Fluid inclusions. Mineralogical Society of America", Reviews in Mineralogy, V. 12 (1984) PP 644.
- [17] Albinson T., Norman D. I., Cole D., Chomiak B., "Controls on formation of low sulfidation epithermal deposits in Mexico: constraints from fluid inclusion and stable isotope data", Society of Economic Geologists Special Publication 8 (2001) 1-32.
- [18] Hedenquist J. W., Henley R. W., "Effect of CO₂ on freezing point depression measurements of fluid inclusions: Evidence from active system and application to epithermal studies", Economic Geology, V. 80 (1985) 1379-1406.
- [19] Ohmoto H., Goldhaber M.B., "Sulfur and carbon isotopes: In H.L. Barnes (ed.), Geochemistry of hydrothermal ore deposits", 3rd
- [2] Sillitoe H.R., Hedenquist J.W., "Linkage between volcanotectonic settings, ore-fluid compositions, and epithermal precious-metal deposits. Society of Economic Geologist", Special Publication 10 (2003) 315-343.
- [3] Alavi M., "Regional stratigraphy of the Zagros fold-thrust belt of Iran and its proforeland evolution", American Journal of Science. (2004) 304, 1–20.
- [4] Berberian M., King G.C.P., "Toward a paleogeography and tectonic evolution of Iran", Canadian Journal of Earth Sciences. 18 (1981) 210–265.
- [5] Bonini M., Corti G., Sokoutis D., Vannucci G., Gasperini P., Cloetingh S., "Insights from scaled analogue modelling into the seismotectonics of the Iranian region", Tectonophysics 376 (2003) 137–149.
- [6] Mohajjal M., Fergusson C.L., Sahandi M.R., "Cretaceous-Tertiary convergence and continental collision, Sanandaj-Sirjan zone, western Iran", Journal of Asian Earth Sciences. 21 (2003) 397–412.
- [7] Richards J.P., Wilkinson D., Ullrich T., "Geology of the Sari Gunay epithermal gold deposit northwest Iran", Economic Geology. 101 (2006) 1455–1496.
- [8] Regard V., Bellier O., Thomas J.C., Bourlès D., Bonnet S., Abbassi M.R., Braucher R., Mercier J., Shabanian E., Soleymani S., Feghhi K.h., "Cumulative right-lateral fault slip rate across the Zagros-Makran transfer zone: role of the Minab-Zendan fault system in accommodating Arabia-Eurasia convergence in southeast Iran", Geophys. Journal. Int. 162 (2005) 177–203.
- [9] Shafei B., Haschke M., Shahabpour J., "Recycling of orogenic arc crust triggers porphyry Cu mineralization in Kerman Cenozoic arc rocks southeastern Iran", Mineral Deposita 44 (2009) 265–283.
- [10] Stern S.M., Bodnar R.J., "Synthetic fluid inclusion in natural quartz I. Compositional types synthesized and applications to experimental

- NaCl solutions", Geochimica et Cosmochimica Acta* 57 (1993) 683–684.
- [30] Wood S.A., Samson I.M., "Solubility of ore minerals and complexation of ore metals in hydrothermal solutions", *Reviews in Economic Geology*, 10 (1998) 33–80.
- [31] Haas J.L., Jr., "The effect of salinity on the maximum thermal gradient of a hydrothermal system at hydrostatic pressure", *Economic Geology*, 66 (1971) 940-946.
- [32] Simmons S.F., "Hydrologic implications of alteration and fluid inclusion studies in the Fresnillo district, Mexico: Evidence for a brine reservoir and a descending water table during the formation of hydrothermal Ag-Pb-Zn ore bodies", *Economic Geology*, 86 (1991) 1579-1602.
- [33] Barnes H.L., "Zoning of ore deposits: types and causes", *Transactions of the Royal Society Edinburgh*, 69 (1975) 295-311
- [34] Buchanan L. J., "Precious Metal Deposits Associated with Volcanic Environments in the Southwest: In Relations of Tectonics to Ore Deposits in the Southern Cordillera. Geological Society of Arizona", Digest, V. 14 (1981) 237–262.
- [35] Grancea L., Bailey L., Leroy J., Banks D., Marcoux E., Milési JP., Cuney M., André AS. D., Istvan D., Fabre C., "Fluid evolution in the Baia Mare epithermal gold/polymetallic district, Inner Carpathians", Romania. *Mineralium Deposita*, V. 37 (2002) 630–647.
- [36] Arribas A., Jr., Cunningham C.G., Rytuba J.J., Rye R.O., Kelly W.C., Podwysocki M.H., McKee E.H., Tosdal R.M., "Geology, geochronology, fluid inclusions, and isotope geochemistry of the Rodalquilar gold alunite deposit", Spain: *Economic Geology*, 90 (1995) 795-822.
- [37] John D., Hofstra A.H., Fleck R.J., Brummer J.E., Saderholm E.C., "Geologic setting and genesis of the Mule Canyon low sulfidation epithermal goldsilver deposit", North-Central Nevada: *Economic Geology*, 98 (2003) 425-463
- [38] Simmons S.F., Christensen B.W., "Origins of calcite in a boiling geothermal system", *American Journal of Science*, 294 (1994) 361-400.
- ed., New York, John Wiley and Sons (1997) 517-611.
- [20] Henley R. W., Brown K. L., i *Reviews in Economic Geology*, 2 (1985) 25-44.
- [21] Pokrovski G. S., Borisova Yu. A., Harrichoury J.C., "The effect of sulfur on vapor-liquid fractionation of metals in hydrothermal systems", *Earth and Planetary Science Letters* 266 (3-4), (2008) 345-362.
- [22] Wilkinson J.J., "Fluid Inclusion in Hydrothermal Ore Deposits", Elsevier, *Lithos* 55 (2001) 229 – 272.
- [23] Hedenquist J.W., Arribas A., "Evolution of an intrusion-centered hydrothermal system: far southeast Lepanto porphyry and epithermal Cu-Au deposits, Philippines", *Economic Geology* 93 (1998) 373–404.
- [24] Naden J., Killias S.P., Derbyshire D.P.F., "Active geothermal systemwith entrained seawater as modern analogs for transitional volcanic-hosted massive sulfide and continental magmatic-hydrothermal mineralization: the example of Milos Island", Greece. *Geology* 33(2005) 541–544.
- [25] Lattanzi P., "Applications of fluid inclusions in the study and exploration of mineral deposits", *European Journal of Mineralogy* 3 (1991) 689–697.
- [26] Simmons S.F, Browne P.R.L., "Hydrothermal minerals and precious metals in the Broadlands-Ohaaki geothermal system: Implications for understanding low sulfidation epithermal environments", *Economic Geology*, 95 (2000) 971-999.
- [27] Drummond SE., Ohmoto H., "Chemical evolution and mineral deposition in boiling hydrothermal systems", *Economic Geology*, V, 80 (1985) 126–147.
- [28] Hedenquist J.W., Arribas A., Gonzalez-Urien, E., "Exploration for epithermal gold. In: Hagemann, S.G., Brown, P.E. (Eds.), Gold in 2000", *Reviews in Economic Geology*, 13 (2000).245–277
- [29] Bodnar R.J., "Revised equation and table for determining the freezing point depression of H₂O-

- Geochimica et Cosmochimica Acta 51 (1987) 1965 -1975.
- [41] Calagari A. A., "Fluid inclusion studies in quartz veinlets in the porphyry copper deposit at Sungun, East-Azabaidjan, Iran.", Journal of Asian Earth Sciences 23 (2004) 179–189
- [42] Ahmad S.N., Rose A.W., "Fluid inclusions in porphyry and skarn ore at Santa Rita, New Mexico", Economic Geology 75 (1980) 229–250.
- [39] Alderton D.H.M., Fallick A.E., "The nature and genesis of gold-silver-tellurium mineralization in the Metaliferi Mountains of Western Romania", Economic Geology, 95(2000) 495-516.
- [40] Chou I. M., "Phase relations in the system NaCl-KCl-H₂O. III: solubilities of halite in vapour-saturated liquids above 445 8C and redetermination of phase equilibrium properties in the system NaCl-H₂O to 1000 8C and 1500 bars",